

รายการอ้างอิง

1. J.R. Davis, Heat-resistant Material, ASM SPECIALTY HANDBOOK, Ohio, April, 1999 : 200-211.
2. J.R. Davis, Nikle, Cobalt and Their alloy, ASM SPECIALTY HANDBOOK, Ohio, December 2000 : 62-67.
3. J.R. Davis, Stainless steel, ASM SPECIALTY HANDBOOK , Ohio, January 1996 : 66-88.
4. CHESTER T.SIMS, NORMAN S. STOLOFF and WILLIAM C. HAGEL, SUPERALLOYS II, 1987 :165-187.
5. H.J. Beattie, Jr. and W.C. Hagel. Precipitation Processes in steels, ISI, London, 1959 p147-170.
6. G.W. Meetham, M.H. Van de Voorde, Materials for High Temperature Engineering Applications, Springer New York, 2000 :36-61.
7. J.W. Christain, The Theory of Transforsmatins in Metal and Alloys, second edition, Part I Equilibrium and General Kinetic Theory, Pergamon Press, Oxford, 1985.
8. Colin J. Smithells and Eric A. Brandes, Metal Reference Book, Butterworths, London & Boston, fifth ed., 1976.
9. Robert W.Cahn, Peter Haasen, Physical Metallurgy, Fourth, revised and enhanced edition, Vol.2, North-Holland, 1996.
10. A.A. Kaya, P. Krauklis and D.J. Young, Micrstructure of HK40 alloy after high temperature service in oxidizing / carburizing enviroment, I. Oxidation phenomena and propagation of a crack, Material Characterizatioon, Vol.49,Issue 1, August 2002 : 11-21.
11. X. Q. Wu, H.M. Jing, Y. G. Zheng, Z.M. Yao, W.Ke and Z. Q. Hu, The eutectic of carbides and creep rupture strength of 25Cr 20Ni heat resistant steel tubes centrifugally cast with different solidification conditions, Materials Science and Engineering A, Vol.293, Issue 1-2, 30 November 2000 : 252-260.
12. Bogdan Piekarski, Effect of Nb and Ti additions on microstructure and indentification of precipitates in stabilized Ni-Cr cast austenitic steels, Materials Characterization, Vol. 47, 2001 : 181-186.

13. Julian Rodriguez, Sergio Haro, Abraham Velasco and Rafael Colas, A Metallographic study of aging in cast heat-resisting alloy, Materials Characterization, Vol. 45, 2000 :23-32.
14. Raul Alejandro Pedro Ibanez, Gloria Dulce de Almeida Soares, Luiz Henrique de Almeida and Iain Le May, Effects of Si Content on the Microstructure of Modified-HP Austenitic steels, Materials Characterization, Vol. 30, 1993: 243-249.
15. Luiz Henrique de Almeida, Andre Freitas Ribeiro and Iain Le May, Microstructural characterization of modified 25Cr-35Ni centrifugally cast steel furnace tubes, Materials Characterization, Vol. 49, Issue 3, October 2002 : 219-229.
16. Gloria Dulce Barbabela, Luiz Henrique de Almeida, Tito Luiz da Silveira and Iain Le May, Role of Nb in Modifying the Microstructure of Heat-resistant Cast HP steel, Materials Characterization, Vol. 26, 1991 : 193-197.
17. Gloria Dulce Barbabela, Luiz Henrique de Almeida, Tito Luiz da Silveira and Iain Le May, Niobium additions in HP Heat-resistant Cast stainless steel, Materials Characterization, Vol. 26, 1992 : 387-396
18. E. A. Kenik, P. J. Maziasz. R. W. Swindeman, J. Cervenka and D. May, Structure and phase stability in a cast modified-HP austenite after long-term ageing, Scripta Materialia, Vol. 49, Issue 2, July 2003 : 117-122.
19. Gloria Dulce Barbabela, Luiz Henrique de Almeida, Tito Luiz da Silveira and Iain Le May, Phase characterization in Two Centrifugally Cast HK steel tubes, Materials Characterization, Vol. 26, 1991 : 1-7.
20. Ronald Mundt and Hans Hoffmeister, The isothermal $\delta - \gamma$ transformation of ferritic-austenitic iron-chromium-nickle alloys, Hamburg , Arch Eisenhuttenwes 54, 1983 : 291- 294.
21. J.R. Davis, Microstructure, ASM HANDBOOK, Vol. 9, ninth printing, April 1999 : 330-350.
22. J.R. Davis, Properties and Selection Irons, steels and High-Performance alloys, ASM HANDBOOK, Vol. 1, ninth printing, April 1999 : 920-929.

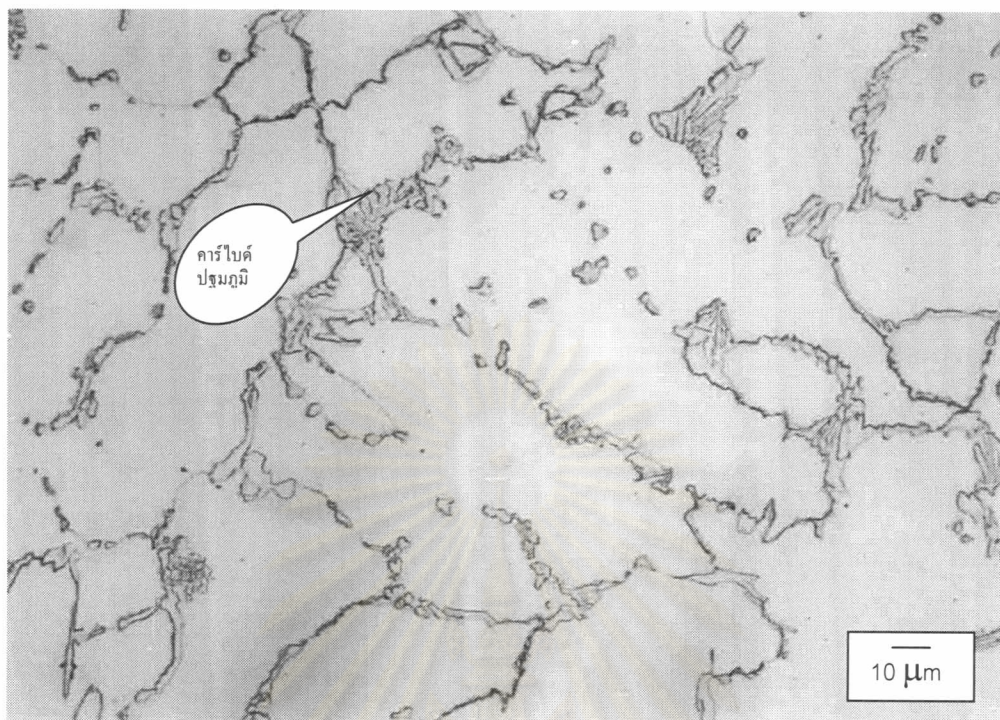


ภาคผนวก

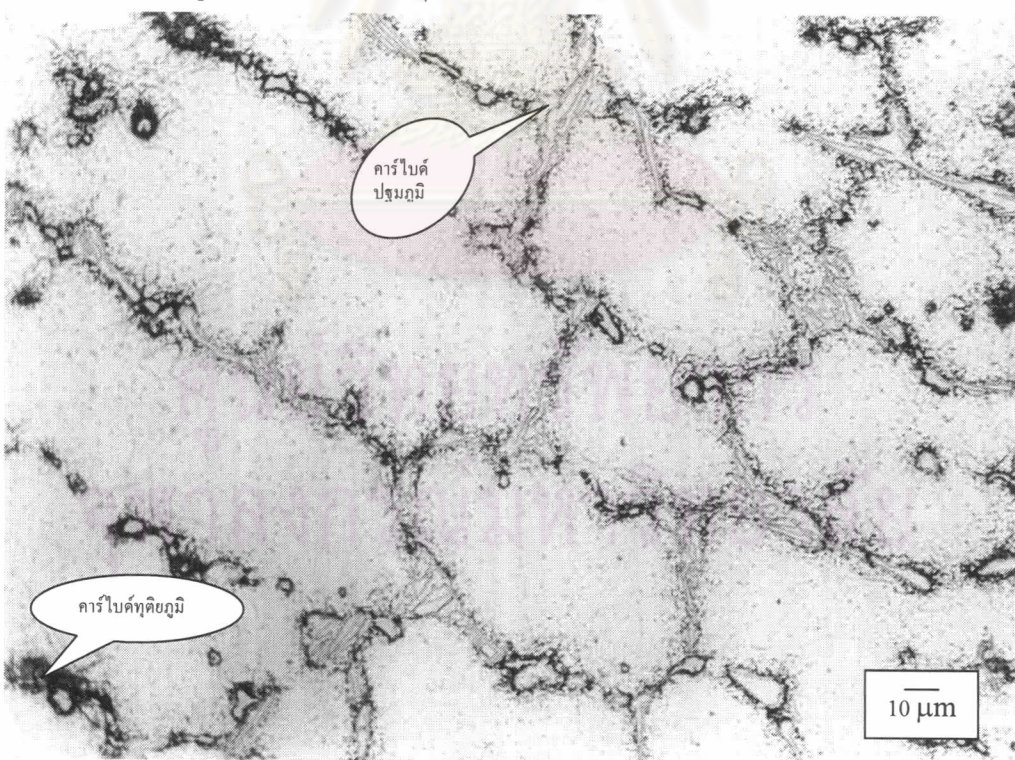
ศูนย์วิทยทรัพยากร
จุฬาลงกรณ์มหาวิทยาลัย

ภาคผนวก ก.

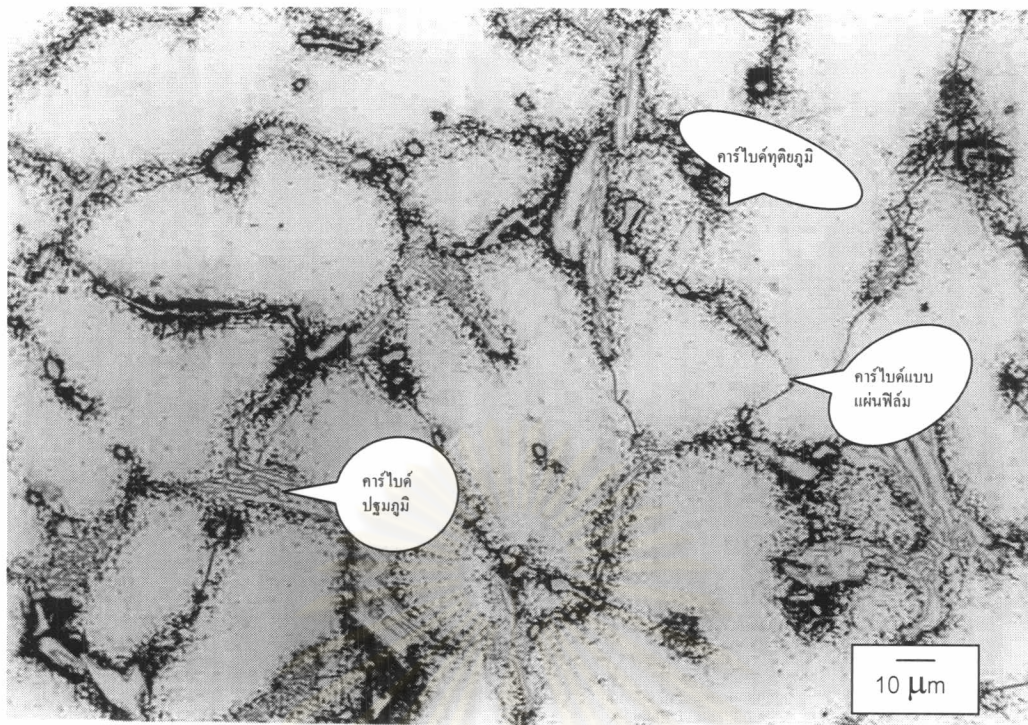
1. ภาพโครงสร้างจุลภาคจากกล้องจุลทรรศน์แสง



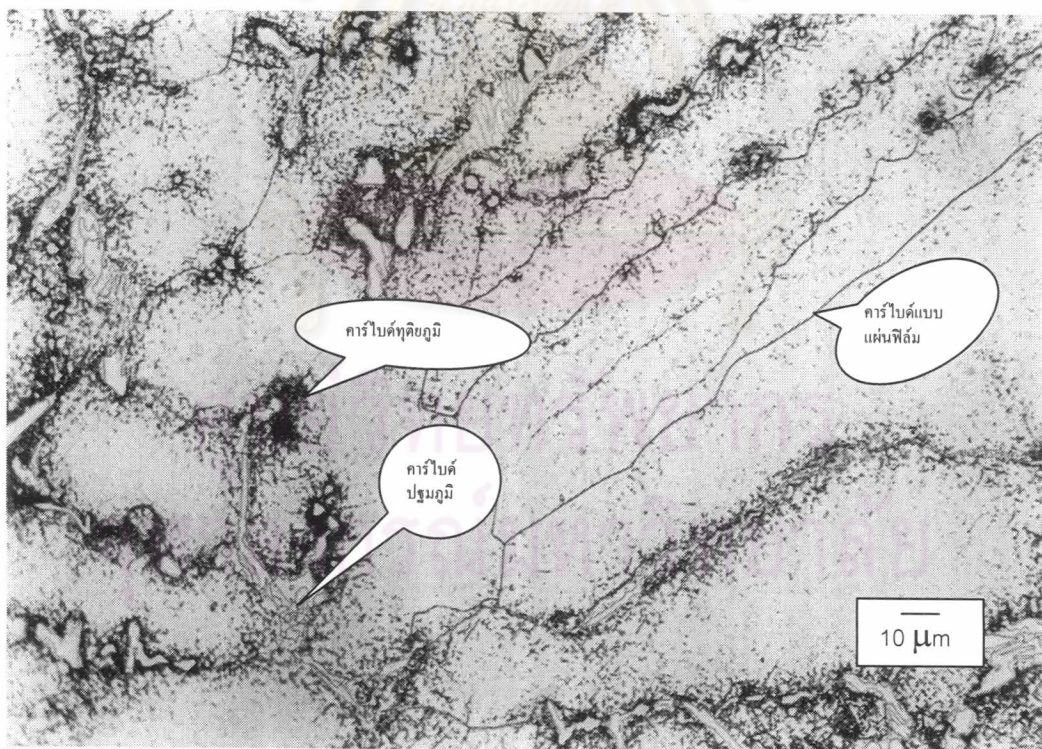
รูปที่ ก1. โครงสร้างจุลภาคของชิ้นตัวอย่างในสภาพที่ได้รับ



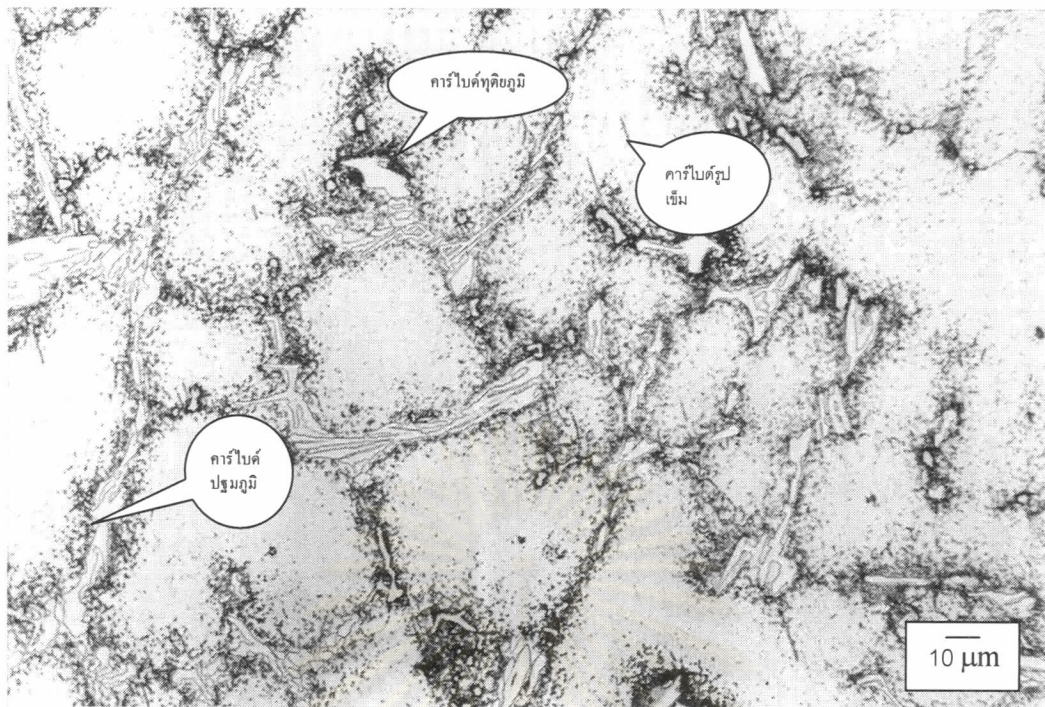
รูปที่ ก2. โครงสร้างจุลภาคของชิ้นตัวอย่างที่ผ่านการอบที่ 800 °ซ 1 ชม.



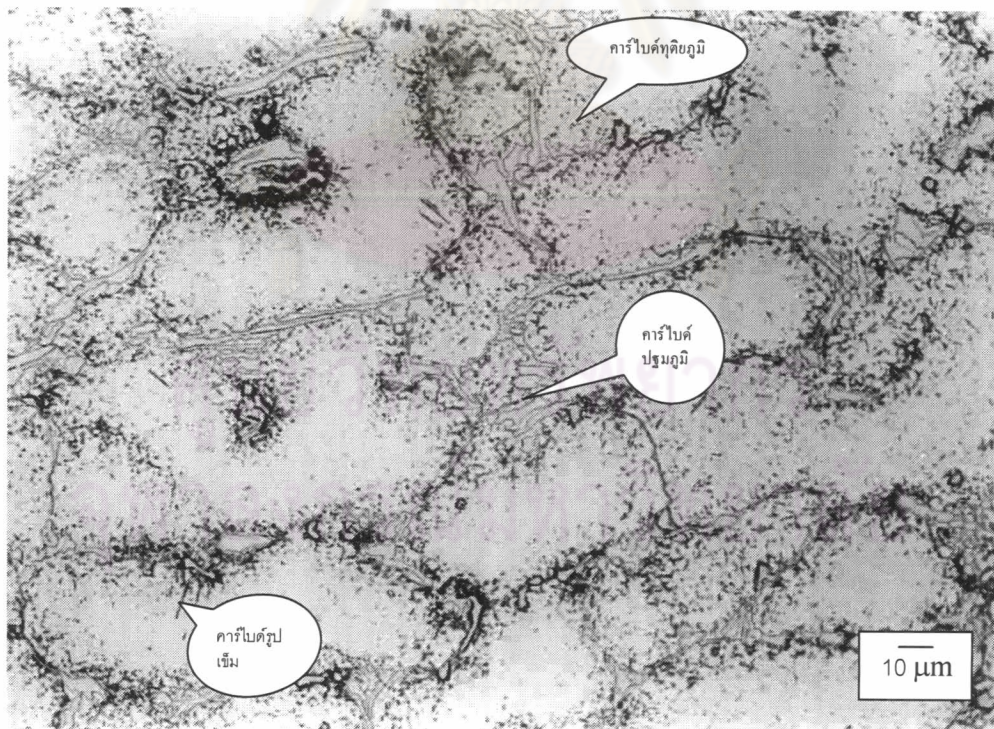
รูปที่ ก3. โครงสร้างจุลภาคของชิ้นตัวอย่างที่ผ่านการอบที่ $800^{\circ}\text{ซ} \text{ 3 } \mu\text{m}$.



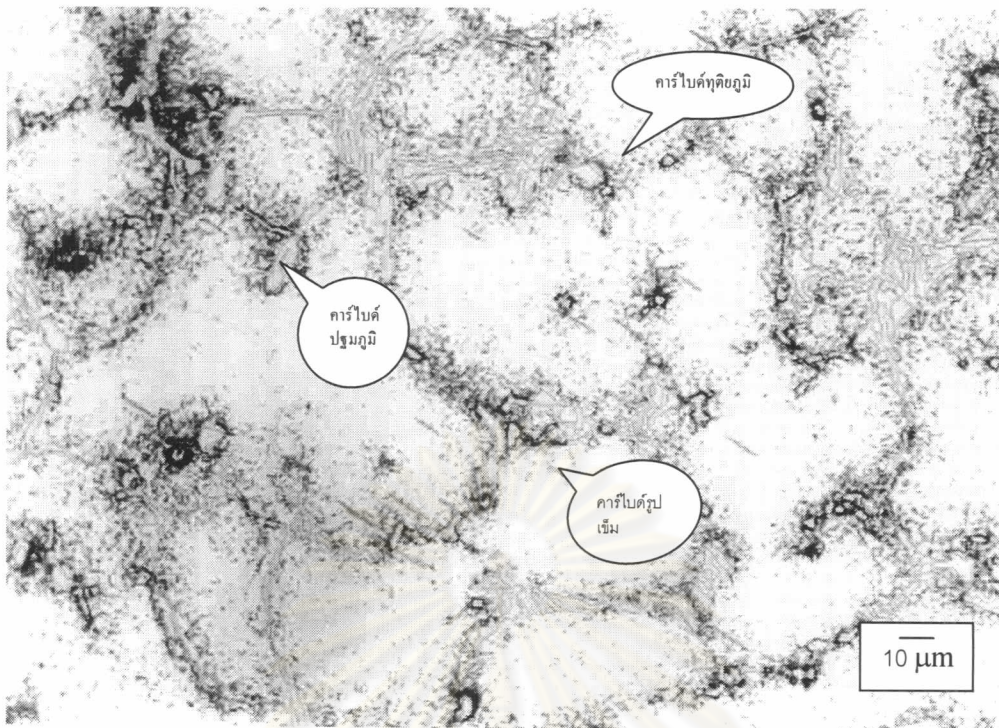
รูปที่ ก4. โครงสร้างจุลภาคของชิ้นตัวอย่างที่ผ่านการอบที่ $800^{\circ}\text{ซ} \text{ 10 } \mu\text{m}$.



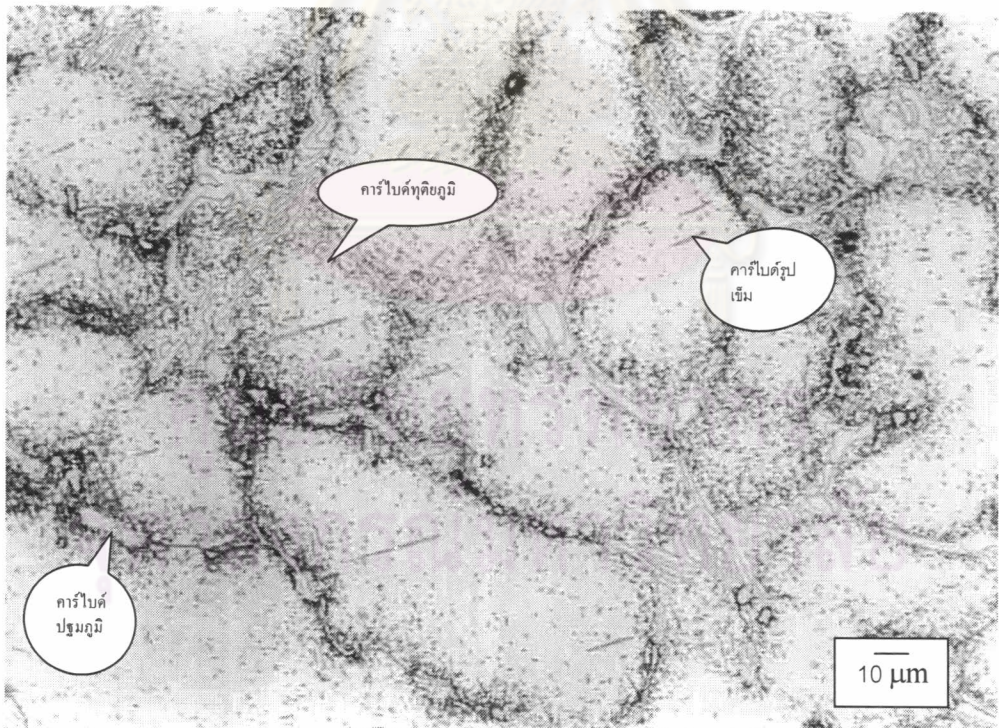
รูปที่ ก5. โครงสร้างจุลภาคของชิ้นตัวอย่างที่ผ่านการอบที่ 800 °ซ. 24 ชม.



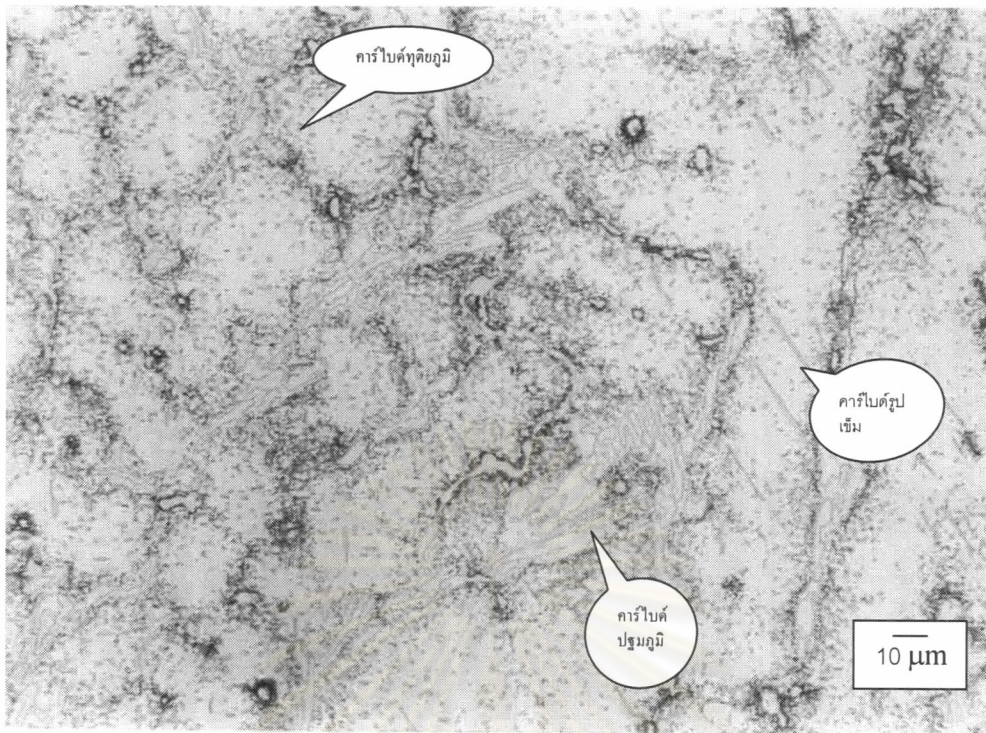
รูปที่ ก6. โครงสร้างจุลภาคของชิ้นตัวอย่างที่ผ่านการอบที่ 900 °ซ. 1 ชม.



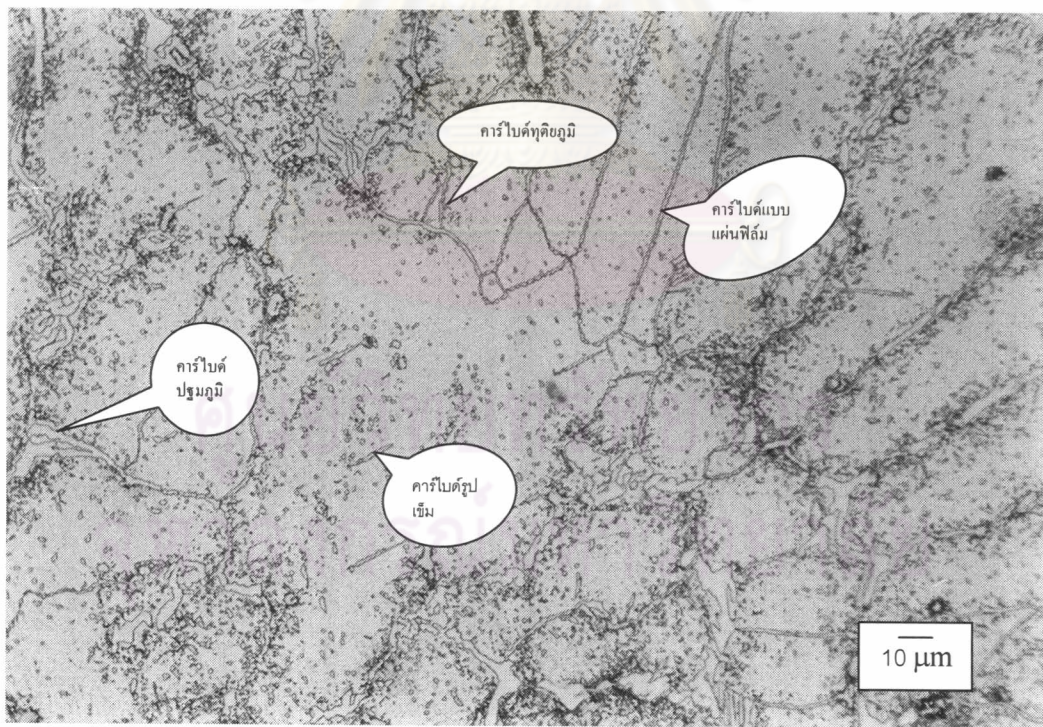
รูปที่ ก7. โครงสร้างจุลภาคของชิ้นตัวอย่างที่ผ่านการอบที่ 900°C 3 ซม.



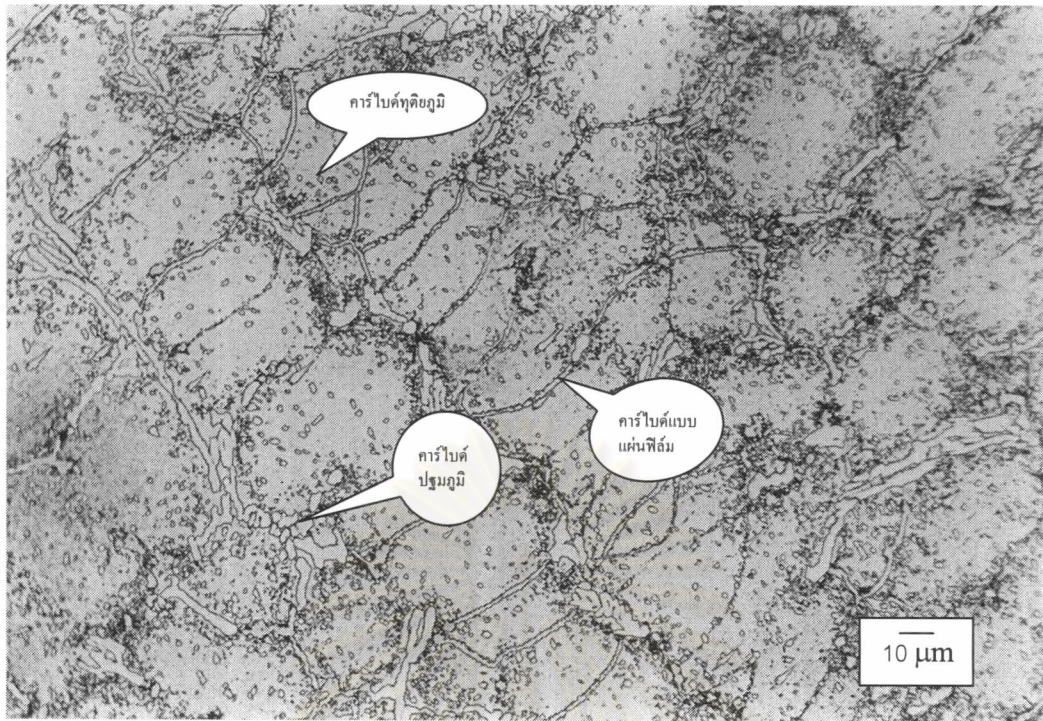
รูปที่ ก8. โครงสร้างจุลภาคของชิ้นตัวอย่างที่ผ่านการอบที่ 900°C 10 ซม.



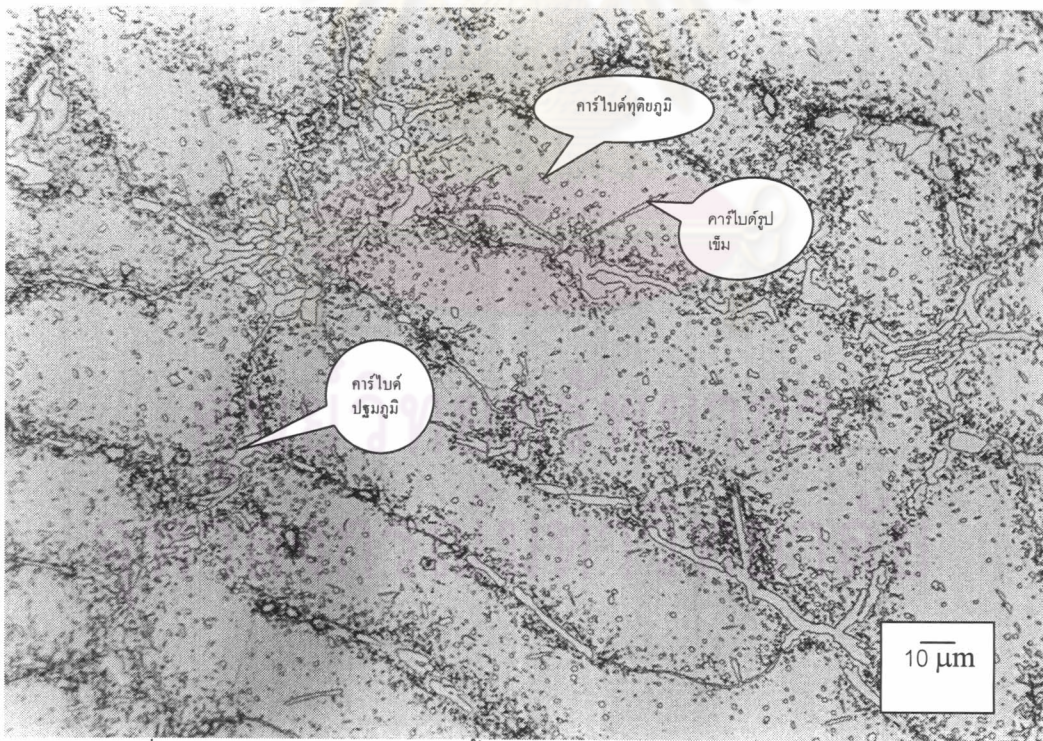
รูปที่ ก9. โครงสร้างจุลภาคของชิ้นตัวอย่างที่ผ่านการอบที่ 900°C 24 ชม.



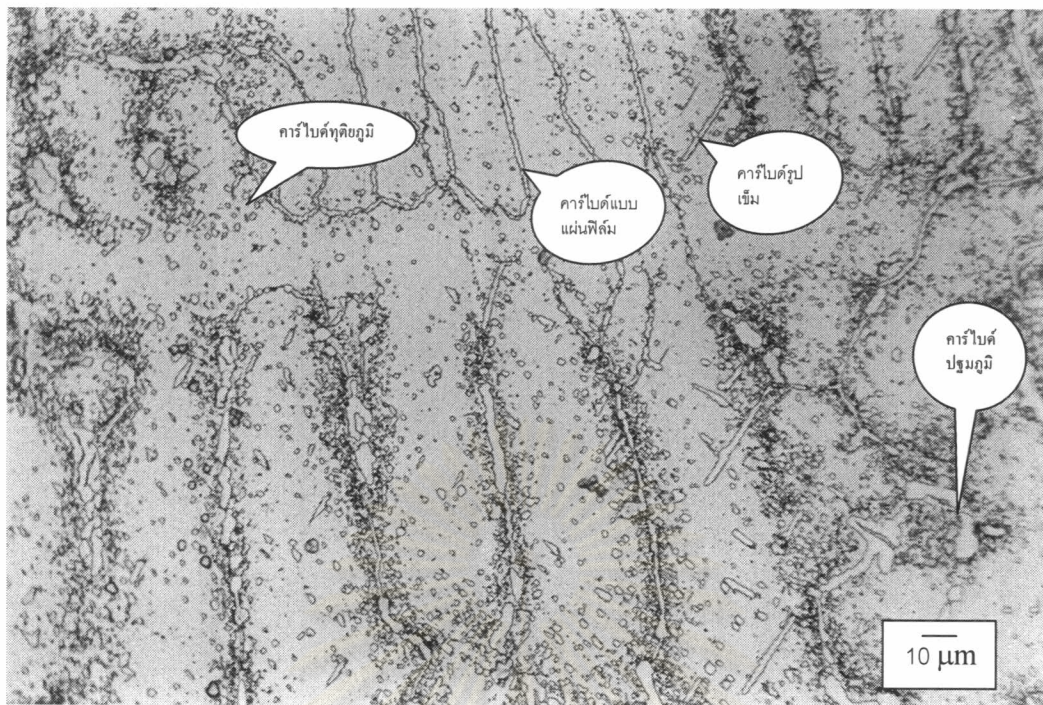
รูปที่ ก10. โครงสร้างจุลภาคของชิ้นตัวอย่างที่ผ่านการอบที่ 1000°C 1 ชม.



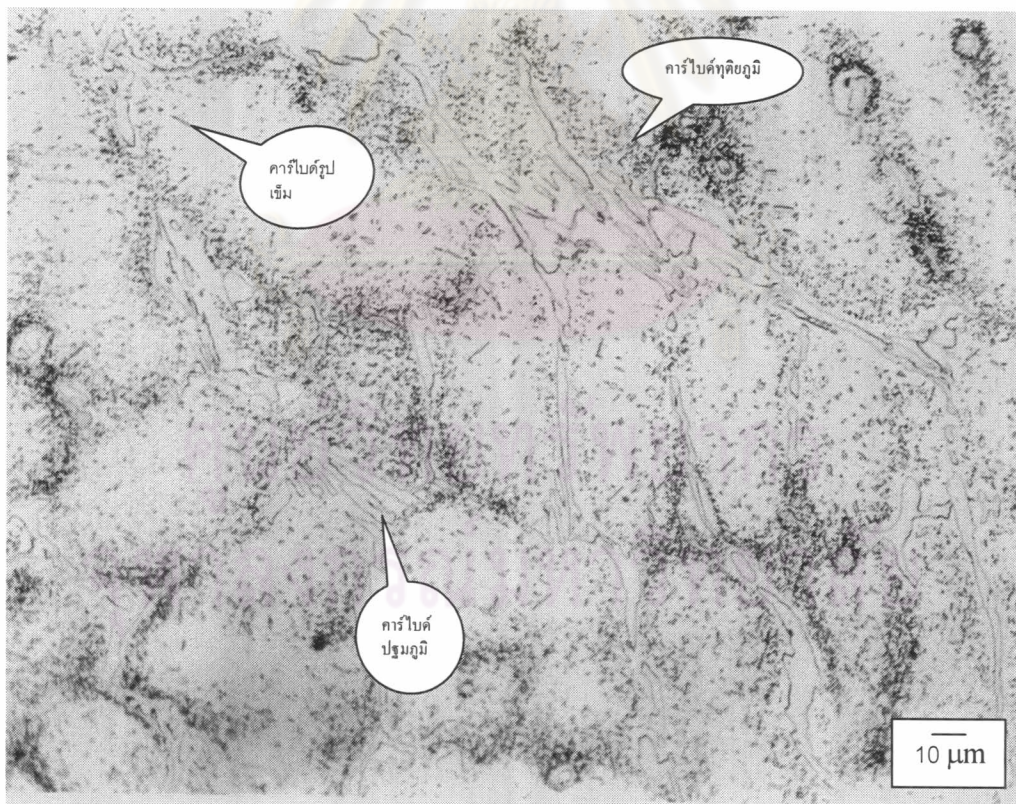
รูปที่ ก11. โครงสร้างจุลภาคของชิ้นตัวอย่างที่ผ่านการอบที่ $1000^{\circ}\text{ซ} \text{ 3 ซม.}$



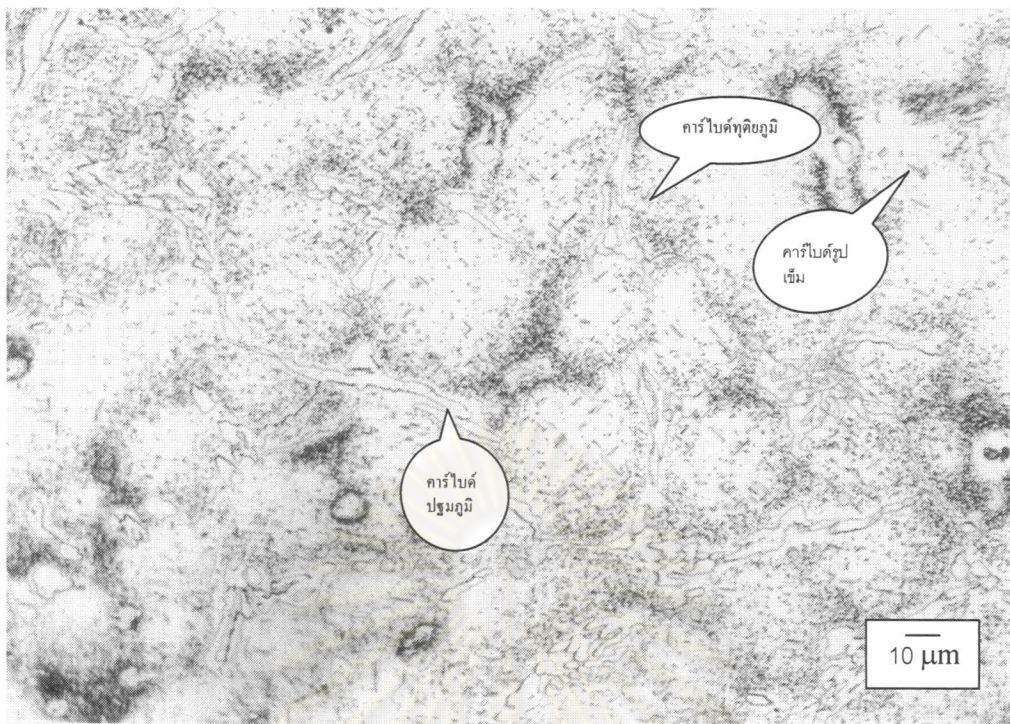
รูปที่ ก12. โครงสร้างจุลภาคของชิ้นตัวอย่างที่ผ่านการอบที่ $1000^{\circ}\text{ซ} \text{ 10 ซม.}$



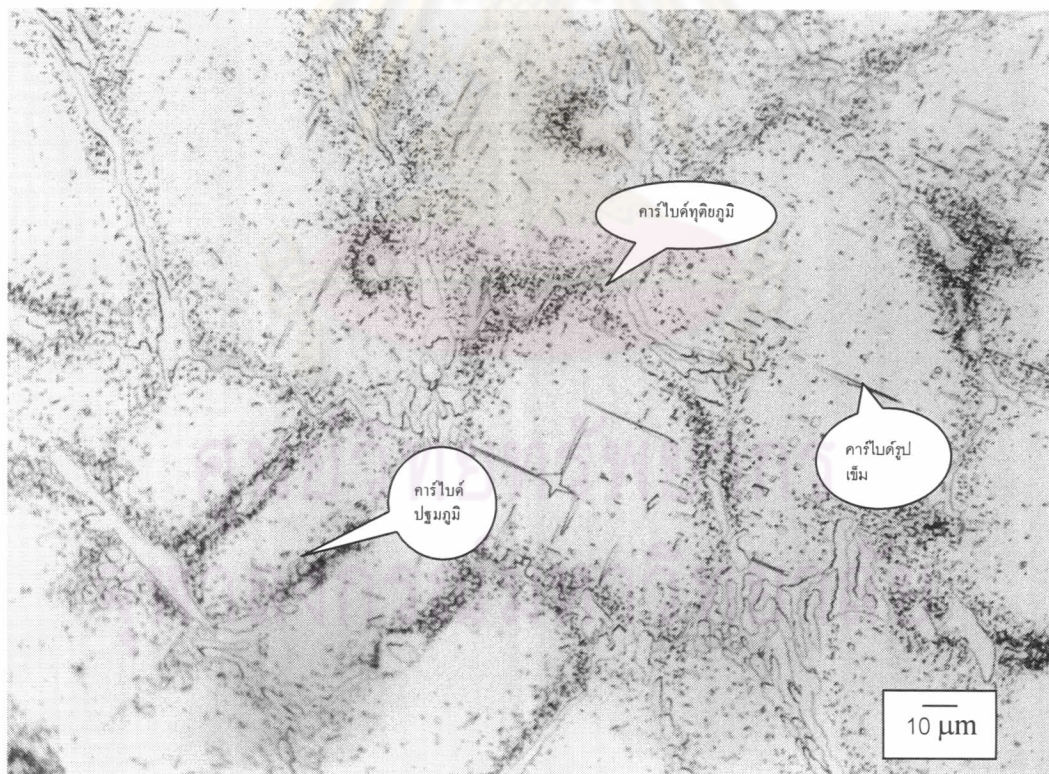
รูปที่ ก13. โครงสร้างจุลภาคของชิ้นตัวอย่างที่ผ่านการอบที่ $1000^{\circ}\text{ซ} \text{ } 24\text{ ชม.}$



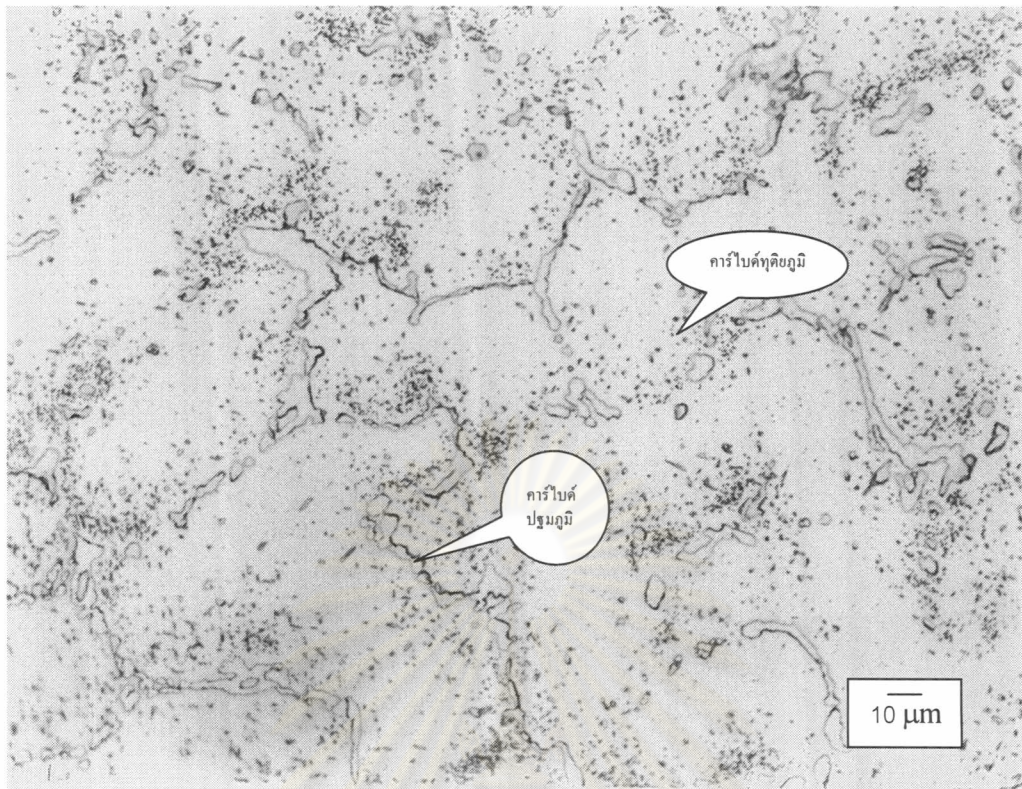
รูปที่ ก14. โครงสร้างจุลภาคของชิ้นตัวอย่างที่ผ่านการอบที่ $1100^{\circ}\text{ซ} \text{ } 1\text{ ชม.}$



រูปទี่ ก15. โครงสร้างจุลภาคของชิ้นตัวอย่างที่ผ่านการอบที่ 1100°C 3 ชม.

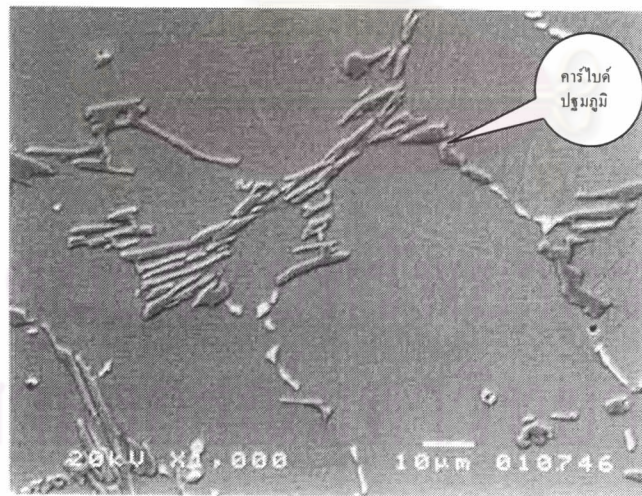


រูปទี่ ก16. โครงสร้างจุลภาคของชิ้นตัวอย่างที่ผ่านการอบที่ 1100°C 10 ชม.

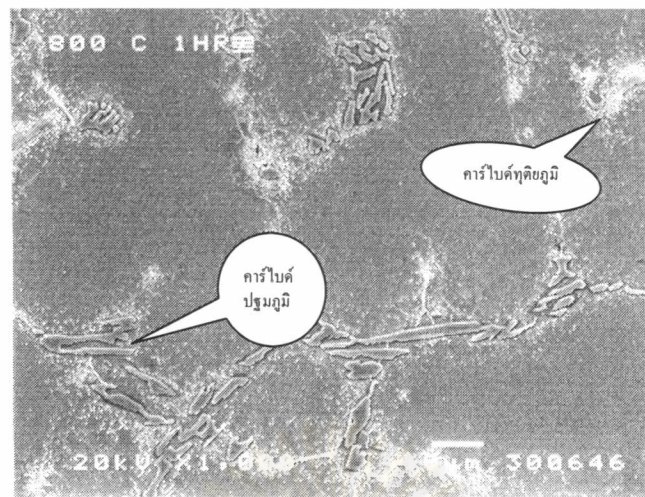


รูปที่ ก17. โครงสร้างจุลภาคของชิ้นตัวอย่างที่ผ่านการอบที่ 1100 °ซ. 24 ชม.

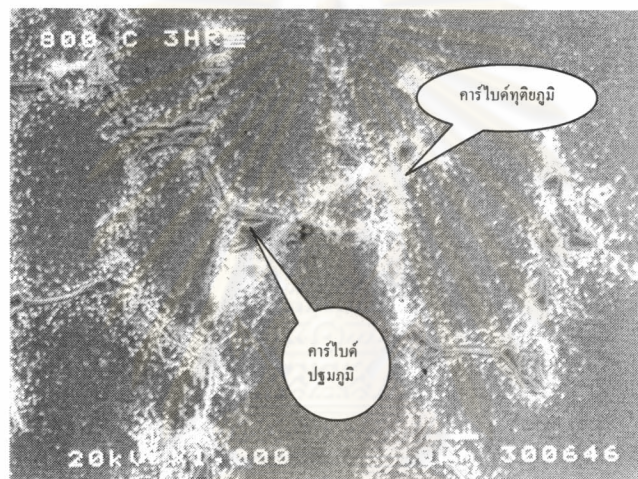
2. ภาพโครงสร้างจุลภาคจากกล้องจุลทรรศน์อิเล็กตรอนชนิดส่องการดู



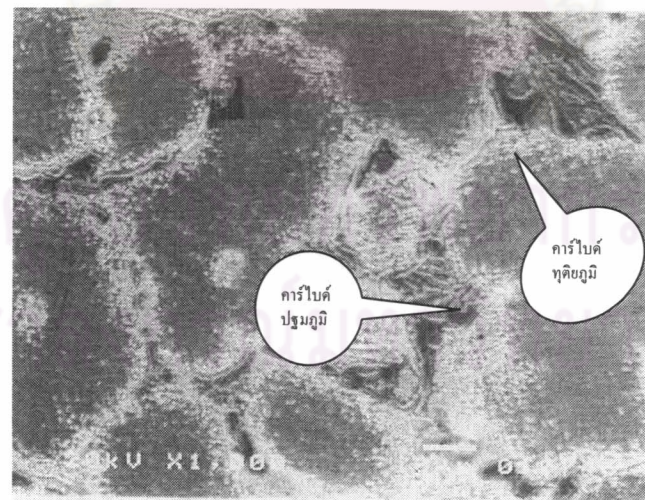
รูปที่ ก18. โครงสร้างจุลภาคของชิ้นตัวอย่างในสภาพที่ได้รับ



รูปที่ ก19. โครงสร้างจุลภาคของชิ้นตัวอย่างที่ผ่านการอบที่ 800 °ซ 1 ชม.



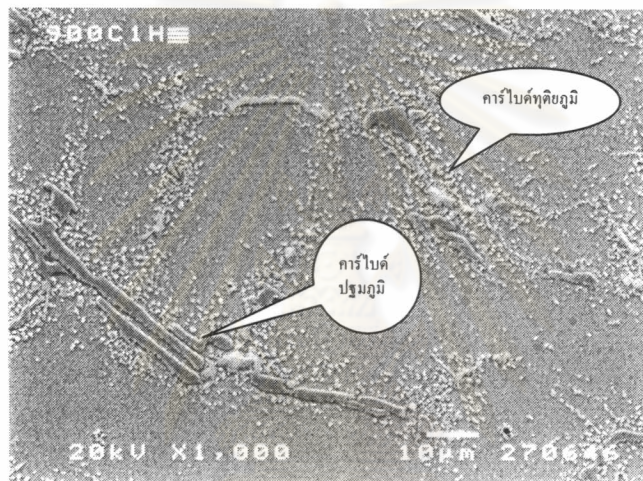
รูปที่ ก20. โครงสร้างจุลภาคของชิ้นตัวอย่างที่ผ่านการอบที่ 800 °ซ 3 ชม.



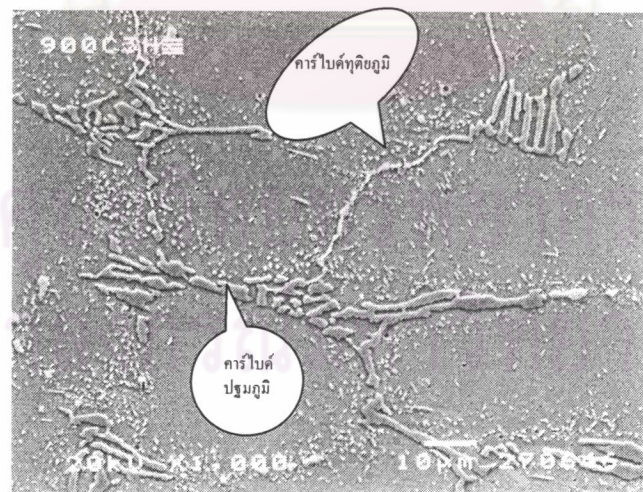
รูปที่ ก21. โครงสร้างจุลภาคของชิ้นตัวอย่างที่ผ่านการอบที่ 800 °ซ 10 ชม.



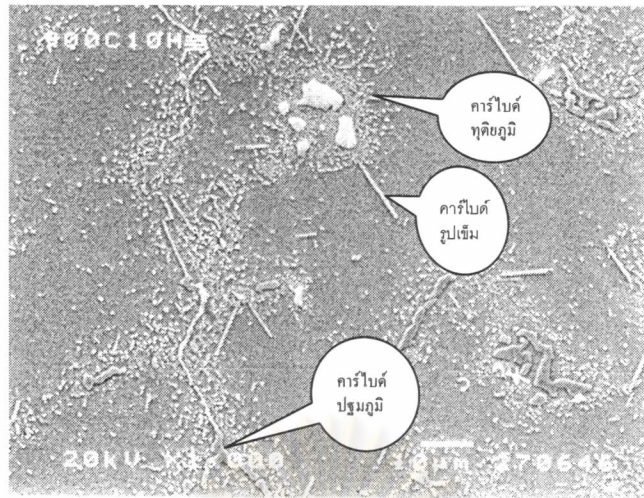
รูปที่ ก22. โครงสร้างจุลภาคของชิ้นตัวอย่างที่ผ่านการอบที่ 800°ซ. 24 ชม.



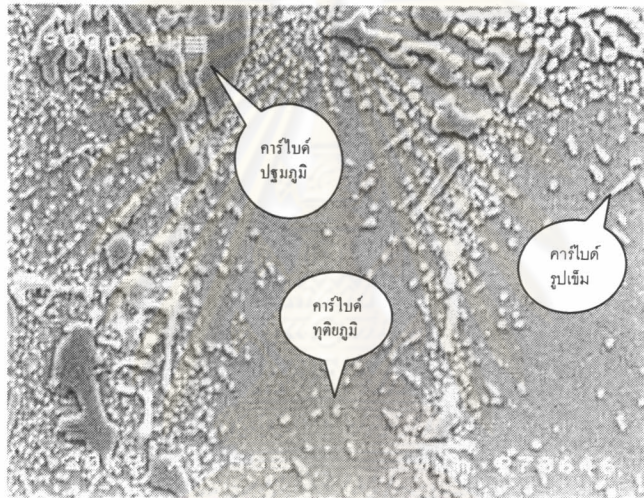
รูปที่ ก23. โครงสร้างจุลภาคของชิ้นตัวอย่างที่ผ่านการอบที่ 900°ซ. 1 ชม.



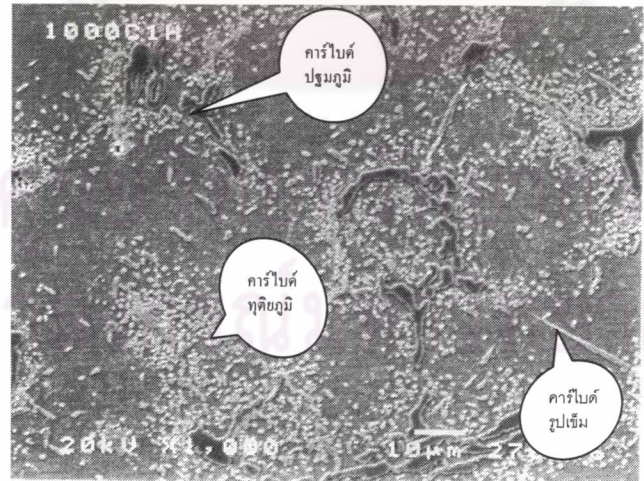
รูปที่ ก24. โครงสร้างจุลภาคของชิ้นตัวอย่างที่ผ่านการอบที่ 900°ซ. 3 ชม.



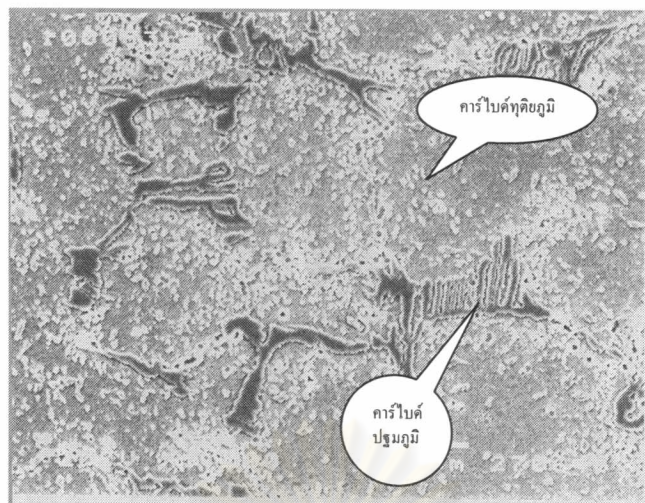
รูปที่ ก25. โครงสร้างจุลภาคของชั้นตัวอย่างที่ผ่านการอบที่ 900°C 10 ซม.



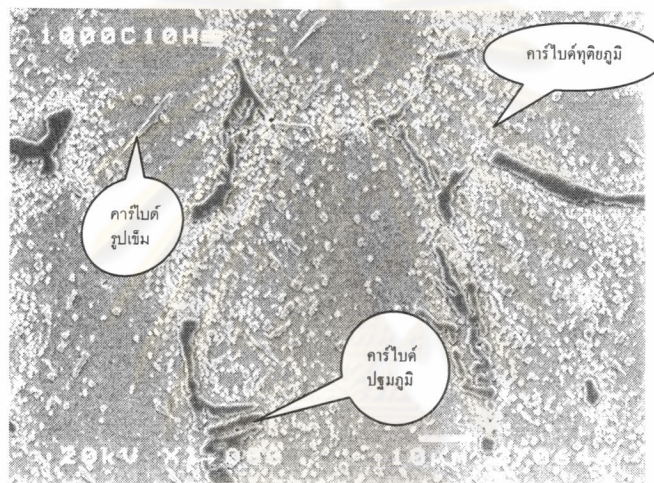
รูปที่ ก26. โครงสร้างจุลภาคของชั้นตัวอย่างที่ผ่านการอบที่ 900°C 24 ซม.



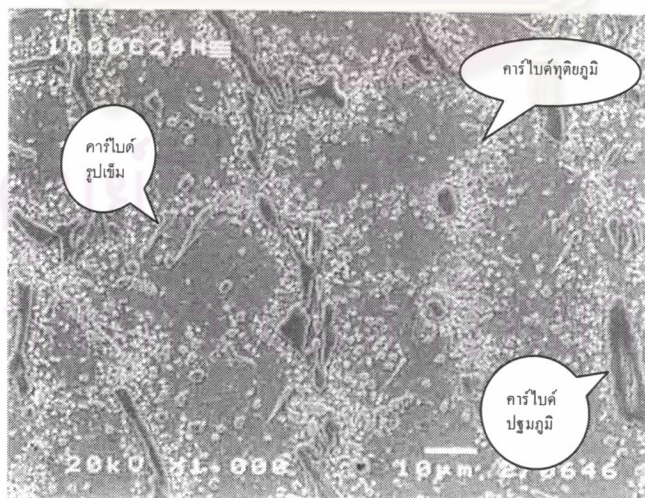
รูปที่ ก27. โครงสร้างจุลภาคของชั้นตัวอย่างที่ผ่านการอบที่ 1000°C 1 ซม.



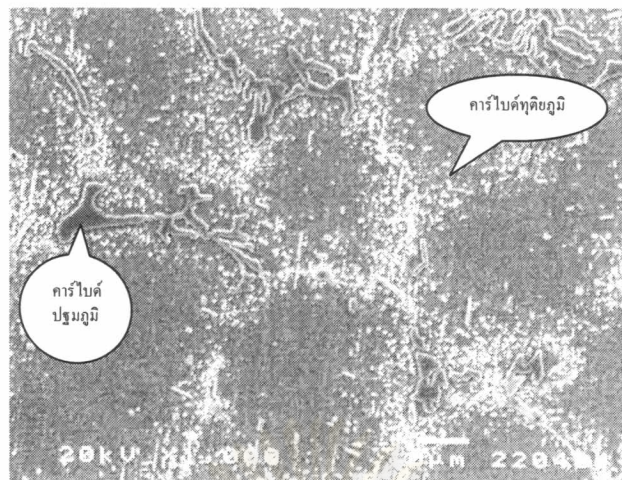
รูปที่ ก28. โครงสร้างจุลภาคของชั้นตัวอย่างที่ผ่านการอบที่ $1000^{\circ}\text{ซ}^\circ$ 3 ช.m.



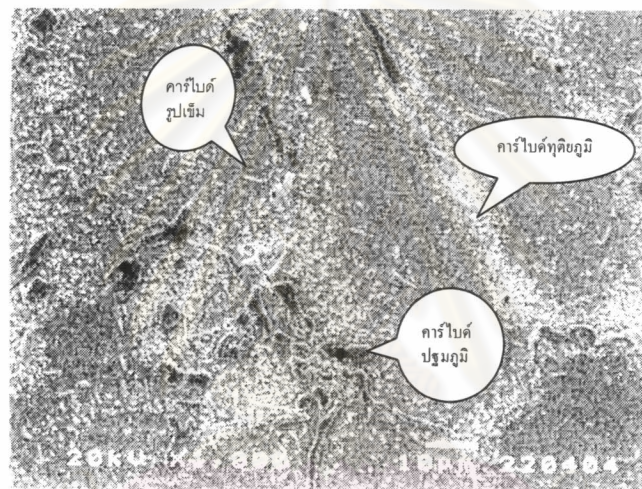
รูปที่ ก29. โครงสร้างจุลภาคของชั้นตัวอย่างที่ผ่านการอบที่ $1000^{\circ}\text{ซ}^\circ$ 10 ช.m.



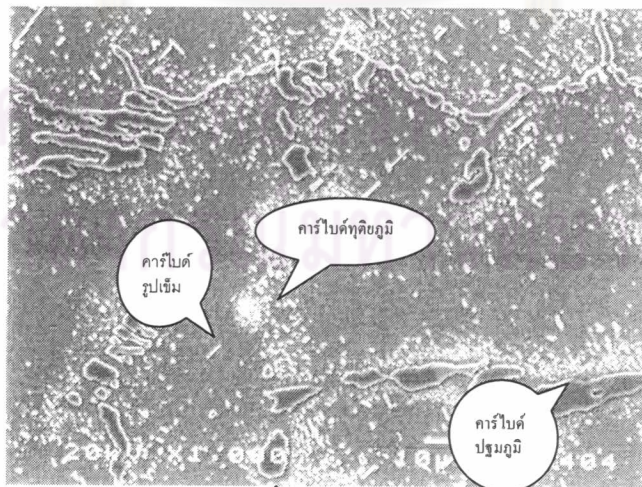
รูปที่ ก30. โครงสร้างจุลภาคของชั้นตัวอย่างที่ผ่านการอบที่ $1000^{\circ}\text{ซ}^\circ$ 24 ช.m.



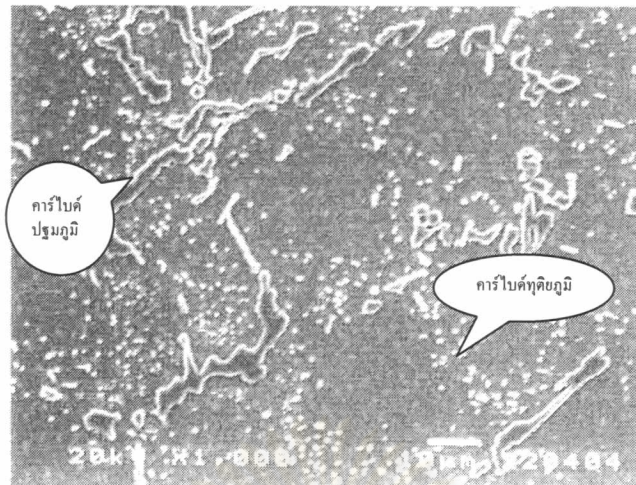
รูปที่ ก31. โครงสร้างจุลภาคของชิ้นตัวอย่างที่ผ่านการอบที่ 1100°ซ. 1 ซม.



รูปที่ ก32. โครงสร้างจุลภาคของชิ้นตัวอย่างที่ผ่านการอบที่ 1100°ซ. 3 ซม.



รูปที่ ก33. โครงสร้างจุลภาคของชิ้นตัวอย่างที่ผ่านการอบที่ 1100°ซ. 10 ซม.



รูปที่ ก34. โครงสร้างดุลภาคของชั้นตัวอย่างที่ผ่านการอบที่ 1100°C 24 ชม.



ภาคผนวก ข

1. การสอบเที่ยบ EDS เซิ่งปริมาณ

โดยการนำชิ้นตัวอย่าง Ni-base เกรด 2.4632 ที่ทราบค่าส่วนผสมทางเคมีแล้ว มาหาส่วนผสมทางเคมีด้วยเทคนิค EDS โดยทำการทดสอบ 5 ครั้งเพื่อหาค่าส่วนเบี่ยงเบนมาตรฐานและส่วนเบี่ยงเบนมาตรฐาน ดังแสดงในตารางที่ ข1 และ ข2

ตารางที่ ข1. ส่วนผสมเคมี (เปอร์เซ็นต์โดยน้ำหนัก) ของชิ้นตัวอย่าง Ni-base เกรด 2.4632

%Si	%Cr	%Mn	%Fe	%Ni	%Ti	อื่นๆ
0.55	19.7	0.39	3.57	74.7	0.48	0.48

ตารางที่ ข2. ส่วนผสมทางเคมี (เปอร์เซ็นต์โดยน้ำหนัก) ที่ได้จากการวิเคราะห์ด้วยเทคนิค EDS

ธาตุ	ปริมาณมาตรฐาน (เปอร์เซ็นต์โดยน้ำหนัก)							ส่วนเบี่ยงเบนมาตรฐาน	$\Delta 1$
	1	2	3	4	5	ค่าเฉลี่ย			
Si	0.62	0.46	0.62	0.43	0.39	0.50	0.11	0.05	
Cr	19.38	19.56	19.10	19.58	19.31	19.39	0.20	0.31	
Mn	0.31	0.39	0.48	0.34	0.43	0.39	0.07	-	
Fe	4.07	4.0	4.04	4.12	4.24	4.09	0.09	-0.52	
Ni	72.57	72.72	72.40	73.04	72.65	72.67	0.24	2.03	
Ti	0.34	0.47	0.31	0.39	0.43	0.39	0.06	0.09	

$\Delta 1 =$ ปริมาณธาตุในตาราง ข1 – ค่าเฉลี่ย (ตารางที่ ข2)

2. การสอบเที่ยบ EDS เชิงคุณภาพ

โดยการยิงแท่งมาตรฐานที่ทราบค่าการดูดกลืนพลังงาน ในที่นี้ใช้แท่งมาตรฐานโคบอลต์ ซึ่งมีคุณลักษณะการดูดกลืนพลังงานดังข้อมูลข้างล่างนี้

Last gain calibration performed at : 12/9/46

Zero energy channel = 9.628219

Energy (ev) per channel = 19.99931

Counts in calibration peak = 77664

ข้อมูลจากการทดสอบที่ได้จากการยิงแท่งมาตรฐานโคบอลต์ที่ 20 Kev มีดังนี้

SEMQuant results. Listed at 11:10:55 AM on 9/12/03

Operator: Chaweewan

Client: none

Job: Job 2003

Spectrum label:

System resolution = 74 eV

Quantitative method: ZAF (1 iterations).

Analysed all elements and normalised results.

3 peaks possibly omitted: 0.00, 0.26, 0.76 keV

Standards :

Co K Co 5/22/02

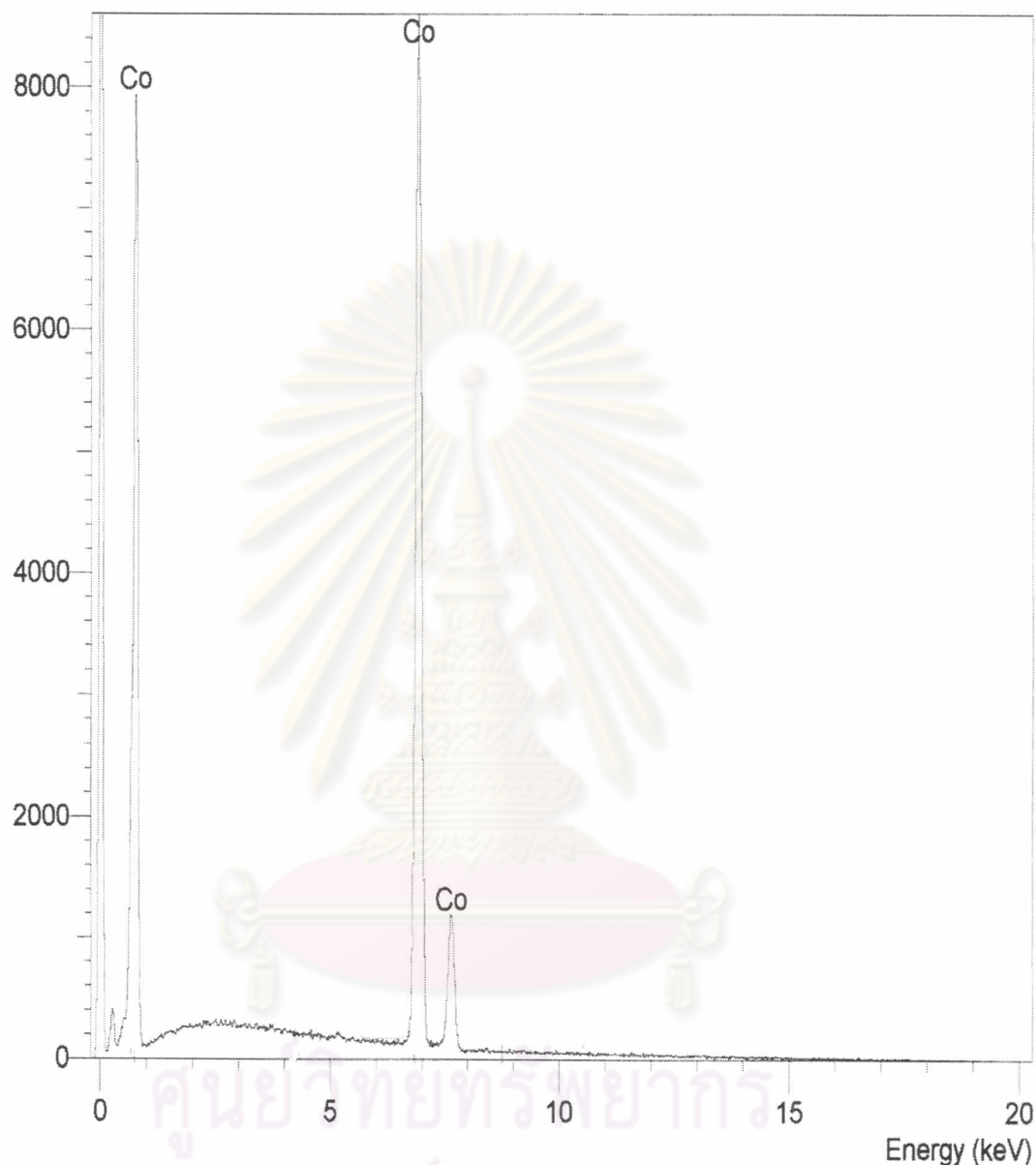
Elmt	Spect.	Element	Atomic
	Type	%	%
Co K	ED	100.00	100.00
Total		100.00	100.00

* = <2 Sigma

Fit Indices

Co K 1.2

Operator : Chaweewan
Client : none
Job : Job 2003
(9/12/03 11:02)
Counts



รูปที่ ข1. แผนภูมิการดูดกลืนพลังงานของแท่งมาตรฐานโคบอลต์

3. ผลการวิเคราะห์ส่วนผสมเม็ด (เปอร์เซ็นต์โดยน้ำหนัก) โดยเทคนิค EDS

ทำกราฟวิเคราะห์บินิเมล์ 3 ครั้งนำค่าที่ได้มาหาค่าเฉลี่ยและส่วนเบี่ยงมาตรฐาน ตั้งแสดงในตารางที่ 13 และ表 4 สำหรับผลการวิเคราะห์อย่างแสดงตัวอย่าง ดังสรุปได้ในตารางที่ 15 – 18

ตารางที่ 13. ผลการวิเคราะห์ส่วนผสมเม็ด (เปอร์เซ็นต์โดยน้ำหนัก) ด้วยเทคนิค EDS ของชิ้นตัวอย่างในส่วนที่ได้รับ

ธาตุ	โลหะพื้น			โครงเอนไซม์เคราท์บีดีปีซัมบูนี						
	1	2	3	average	SD.	1	2	3	average	SD.
Si	3.83	2.01	2.5	2.78	0.94	0.66	1.24	0.64	0.85	0.34
Cr	24.9	23.94	24.78	24.54	0.52	72.9	65.46	73.4	70.59	4.45
Mn	1.7	1.21	1.45	1.45	0.24	1.03	1.14	1.11	1.09	0.06
Fe	33.42	37.55	36.24	35.74	2.119	14.13	17.19	13.77	15.03	1.88
Ni	31.59	31.42	31.77	31.59	0.18	6.05	10.76	6.3	7.7	2.65
Nb	1.62	2.02	1.96	1.87	0.22	2.41	2.17	2.29	2.29	0.12
ภายนอก	0.37	0.02	0.33	0.24	0.19	0.25	0.28	0.27	0.27	0.03

ຕ່າງໆ ໂດຍຫຼັມຕົກລົງອຳນວຍການ ຕ້ອງຢ່າງດີເຊື້ອ ແລະ ດີເລີ້ມຕົກລົງ ທີ່ຈະໄດ້ຮັບອະນຸມາດຕະຖານາທີ່ 74. ມະນຸລັງກາງໃຫຍ່ຄວາມຫຼັມຕົກລົງອຳນວຍການ ຕ້ອງຢ່າງດີເຊື້ອ ແລະ ດີເລີ້ມຕົກລົງ ທີ່ຈະໄດ້ຮັບອະນຸມາດຕະຖານາທີ່ 75 (ປະກົບຕົກລົງອຳນວຍການ ຕ້ອງຢ່າງດີເຊື້ອ ແລະ ດີເລີ້ມຕົກລົງ ທີ່ຈະໄດ້ຮັບອະນຸມາດຕະຖານາທີ່ 76) ຕ້ອງຢ່າງດີເຊື້ອ ແລະ ດີເລີ້ມຕົກລົງ ທີ່ຈະໄດ້ຮັບອະນຸມາດຕະຖານາທີ່ 77 (ປະກົບຕົກລົງອຳນວຍການ ຕ້ອງຢ່າງດີເຊື້ອ ແລະ ດີເລີ້ມຕົກລົງ ທີ່ຈະໄດ້ຮັບອະນຸມາດຕະຖານາທີ່ 78) ຕ້ອງຢ່າງດີເຊື້ອ ແລະ ດີເລີ້ມຕົກລົງ ທີ່ຈະໄດ້ຮັບອະນຸມາດຕະຖານາທີ່ 79 (ປະກົບຕົກລົງອຳນວຍການ ຕ້ອງຢ່າງດີເຊື້ອ ແລະ ດີເລີ້ມຕົກລົງ ທີ່ຈະໄດ້ຮັບອະນຸມາດຕະຖານາທີ່ 80) ແລະ 1 ໂດຍ.

ธาตุ	โลหะพน			โลหะเงา			SD.	average	SD.	average	SD.
	1	2	3	average	SD.	1					
Si	2.06	2.24	2.07	2.12	0.10	0.5	0.76	0.58	0.61	0.13	
Cr	24.13	24.61	24.38	24.37	0.24	80.13	70.08	77.02	75.74	5.14	
Mn	1	1.32	1.11	1.14	0.16	1.11	0.9	0.84	0.95	0.14	
Fe	37.82	37.33	38.04	37.73	0.36	9.79	14.8	13.11	12.57	2.53	
Ni	31.26	32.46	31.57	31.76	0.62	3.03	7.62	5.03	5.23	2.30	
Nb	1.65	1.54	1.45	1.55	0.10	3.69	3.08	1.69	2.82	1.02	
ภูมิ	0.03	0.03	0.03	0.03	-	0.27	0.30	0.07	0.22	0.22	0.13

ការធ្វើរបាយ	800 °គ. 1 មួយ.				800 °គ. 3 មួយ.				800 °គ. 10 មួយ.				800 °គ. 24 មួយ.			
	តម្លៃអាក្សង់	SD.	គ្រប់រឿងមិនស្ថិត	SD.	តម្លៃអាក្សង់	SD.	គ្រប់រឿងមិនស្ថិត	SD.	តម្លៃអាក្សង់	SD.	គ្រប់រឿងមិនស្ថិត	SD.	តម្លៃអាក្សង់	SD.	គ្រប់រឿងមិនស្ថិត	SD.
Si	2.12	0.10	0.61	0.13	1.77	0.12	0.52	0.18	1.99	0.13	0.43	0.08	1.93	0.10	1.01	0.37
Cr	24.37	0.24	75.74	5.14	23.96	0.09	79.56	5.16	24.17	0.07	80.77	2.28	24.16	0.05	71.47	3.94
Mn	1.14	0.16	0.95	0.14	1.25	0.07	0.93	0.15	1.18	0.06	0.78	0.09	1.09	0.09	1.19	0.18
Fe	37.73	0.36	12.57	2.53	38.14	0.20	11.34	2.31	38.76	0.36	11.59	1.54	38.33	0.42	14.01	2.10
Ni	31.76	0.62	5.23	2.30	31.37	0.20	3.53	2.20	31.6	0.25	3.57	1.14	31.66	0.33	7.63	1.91
Nb	1.55	0.10	2.82	1.02	1.73	0.20	2.12	0.33	1.3	0.05	1.41	0.15	1.47	0.19	3.27	2.72
Al	0.03	-	0.22	0.13	0.01	-	0.25	0.05	0.02	0.006	0.16	0.14	0.03	-	0.18	0.10

ตารางที่ ၆ สรุปผลการวิเคราะห์ส่วนผสมเคมี (เบอร์ซีนติดynaหนึ่ง) ด้วยเทคนิค EDS ทุกชนิดตัวอย่าง 900 °C

ธาตุ	900 °C 1 ชั่ว.				900 °C 3 ชั่ว.				900 °C 10 ชั่ว.				900 °C 24 ชั่ว.			
	โลหะพน.	SD.	โครงเย้ม	SD.	โลหะพน.	SD.	โครงเย้ม	SD.	โลหะพน.	SD.	โครงเย้ม	SD.	โลหะพน.	SD.	โครงเย้ม	SD.
Si	2.12	0.09	0.98	0.20	2.12	0.06	0.85	0.51	2.05	0.08	2.41	0.09	2.1	0.05	1.2	0.29
Cr	24.14	0.30	66.67	7.39	24.09	0.24	72.29	15.65	24.11	0.40	64.97	1.49	23.66	0.44	66.03	3.28
Mn	1.67	0.13	1.14	0.12	1.23	0.12	0.1	0.29	1.28	0.02	1.22	0.40	1.57	0.08	1.07	0.24
Fe	37.54	0.34	16.67	3.64	37.62	0.41	14.82	7.05	37.55	0.62	6.89	4.40	38.29	0.11	16	1.99
Ni	31.06	0.15	9.75	3.89	31.9	0.08	7.69	7.63	31.15	0.43	15.43	2.83	31.59	0.37	10.81	1.70
Nb	1.99	0.006	2.39	0.14	1.74	0.02	1.85	0.14	1.99	0.16	6.86	1.65	1.7	0.11	3.11	1.82
ภู่ฯ	0.03	0.006	0.07	0.006	0.03	-	0.07	0.01	0.04	0.006	0.07	0.006	0.03	-	0.05	-

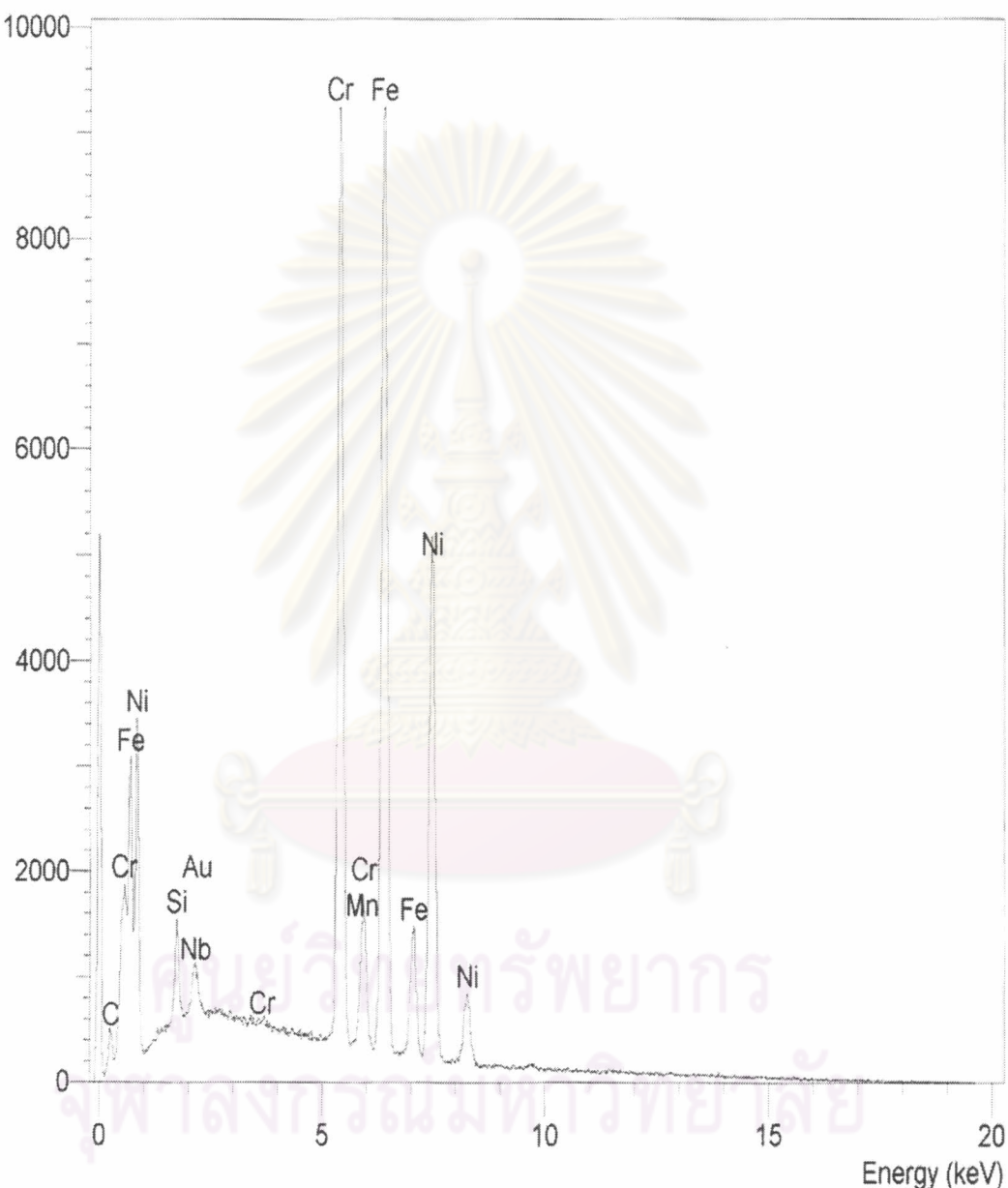
ตารางที่ ၇ สรุปผลการวิเคราะห์ส่วนผสมเคมี (เบอร์ซีนติดynaหนึ่ง) ด้วยเทคนิค EDS ทุกชนิดตัวอย่าง 1000 °C

ธาตุ	1000 °C 1 ชั่ว.				1000 °C 3 ชั่ว.				1000 °C 10 ชั่ว.				1000 °C 24 ชั่ว.			
	โลหะพน.	SD.	โครงเย้ม	SD.	โลหะพน.	SD.	โครงเย้ม	SD.	โลหะพน.	SD.	โครงเย้ม	SD.	โลหะพน.	SD.	โครงเย้ม	SD.
Si	2.1	0.12	0.61	0.20	2.14	0.12	0.65	0.24	2.42	0.16	0.59	0.16	2.6	0.08	0.55	0.16
Cr	23.5	0.10	70.81	6.71	23.06	0.42	71.22	9.26	23.19	0.13	73.47	4.42	22.61	0.19	74.34	4.08
Mn	1.09	0.08	0.85	0.10	1.12	0.08	0.98	0.13	1.34	0.04	0.84	0.10	1.4	0.05	0.88	0.19
Fe	37.32	0.28	14.27	3.07	37.0	0.08	13.86	4.40	37.64	0.29	13.75	1.98	37.34	0.18	13.09	2.16
Ni	30.96	0.22	7.54	2.92	30.87	0.23	7.35	4.89	31.36	0.10	6.94	2.94	31.95	0.38	6.62	1.91
Nb	2.52	0.07	3.03	0.83	2.82	0.19	2.72	0.32	2.11	0.10	2.13	0.30	2.17	0.18	2.1	0.08
ภู่ฯ	0.03	1.13	0.13	0.14	0.03	0.006	0.23	0.07	0.04	0.006	0.12	0.14	0.04	0.006	0.05	-

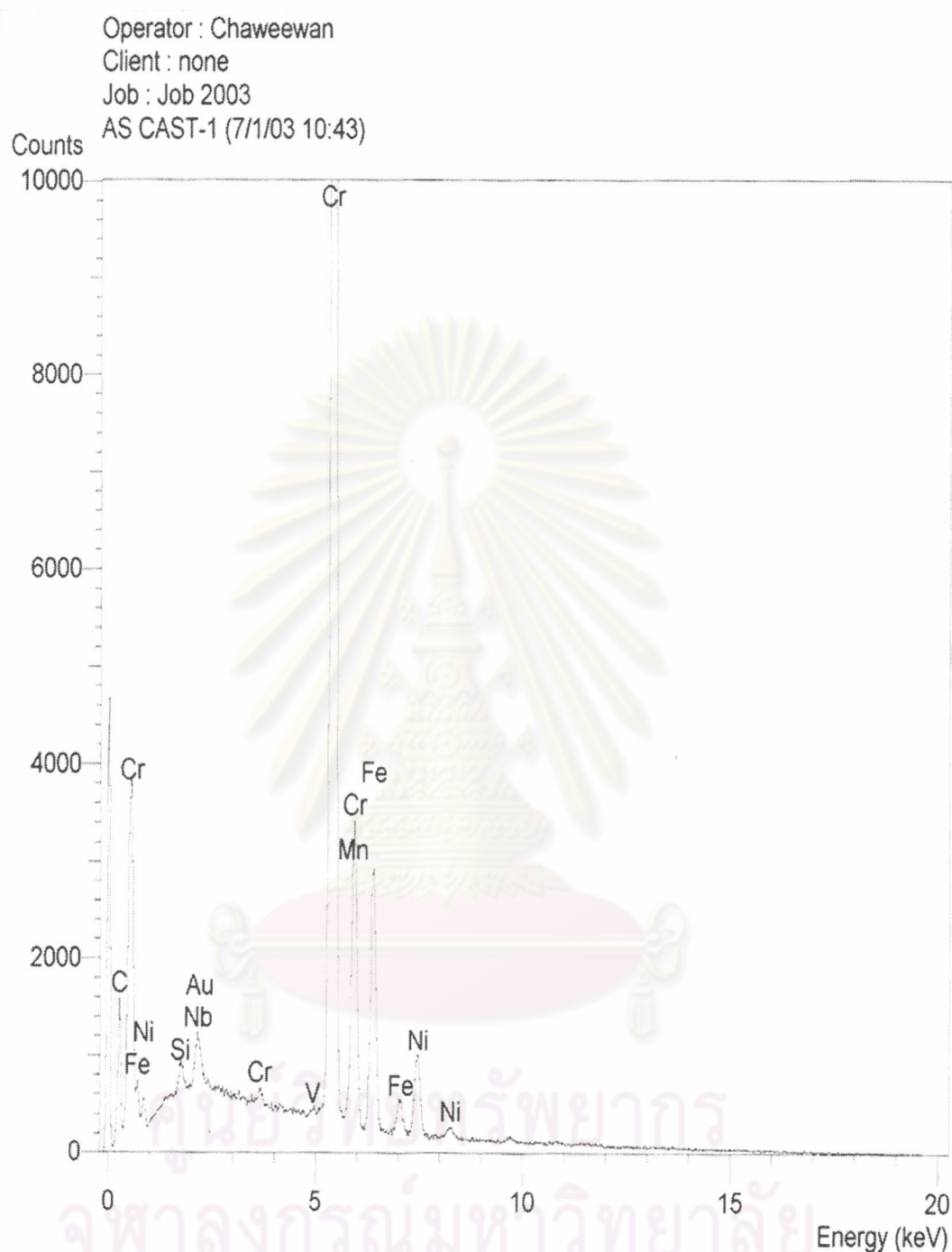
ตารางที่ ๔๘ สรุปผลการวิเคราะห์ส่วนผสมเม็ดแม่ (เปอร์เซ็นต์โดยน้ำหนัก) ด้วยเทคนิค EDS ของตัวอย่าง ๑๑๐๐ °C

ธาตุ	๑๑๐๐ °C ๑ ซม.			๑๑๐๐ °C ๓ ซม.			๑๑๐๐ °C ๑๐ ซม.			๑๑๐๐ °C ๒๔ ซม.		
	โครงสร้าง โลหะฟื้น	โครงสร้าง โลหะเปลี่ยน สภาพ	โครงสร้าง โลหะเปลี่ยน สภาพ	โครงสร้าง โลหะฟื้น	โครงสร้าง โลหะเปลี่ยน สภาพ	โครงสร้าง โลหะฟื้น	โครงสร้าง โลหะเปลี่ยน สภาพ	โครงสร้าง โลหะฟื้น	โครงสร้าง โลหะเปลี่ยน สภาพ	โครงสร้าง โลหะฟื้น	โครงสร้าง โลหะเปลี่ยน สภาพ	
	SD.	SD.	SD.	SD.	SD.	SD.	SD.	SD.	SD.	SD.	SD.	
Si	1.78	0.27	0.37	0.21	1.96	0.02	0.57	0.12	1.73	0.13	0.49	
Cr	22.93	0.28	70.44	7.87	22.61	0.55	69.21	5.39	22.52	0.54	73.93	
Mn	1.22	0.25	-	-	1.29	0.46	-	-	1.83	0.78	-	
Fe	36.32	0.51	14.99	3.55	36.99	0.48	14.33	1.66	36.31	0.78	12.23	
Ni	31.13	0.30	8.19	4.20	31.62	0.35	6.33	1.52	29.77	1.34	4.60	
Nb	6.45	0.24	5.96	0.12	5.44	0.16	9.64	6.75	7.69	0.58	8.68	
总计	0.16	0.02	0.05	0.02	0.08	0.01	0.08	0.02	0.16	0.13	0.08	

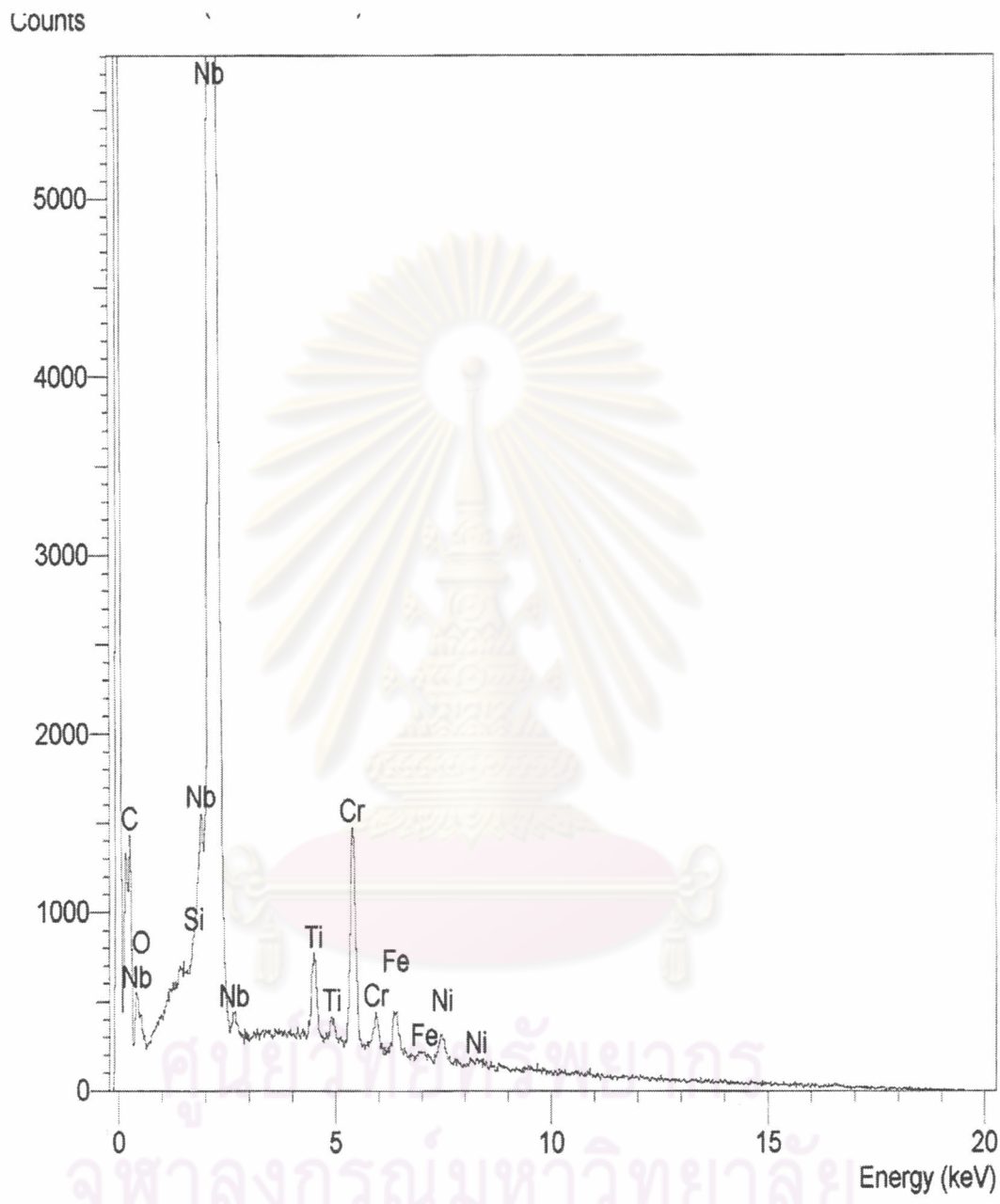
Operator : Chaweewan
Client : none
Job : Job 2003
Counts AS CAST BASE-2 (7/1/03 11:03)



รูปที่ ๑๒ กราฟการวิเคราะห์ธาตุเชิงปริมาณด้วย EDS บริเวณโครงสร้างพื้น



รูปที่ ข3 กราฟการวิเคราะห์ธาตุเชิงปริมาณด้วย EDS บริเวณโครงเมียมcarrie ใบดีปสูมภูมิ



รูปที่ ข4 กราฟการวิเคราะห์ธาตุเชิงปริมาณด้วย EDS บริเวณ MC ควร์เบดปฐมภูมิ

ମହାଭାଗିତ

ព្រះរាជាណាចក្រកម្ពុជា ព្រះមហាក្សត្រ នគរាមេង ៩ ២០១៨ (លទ្ធផល ៤/២៥៩)

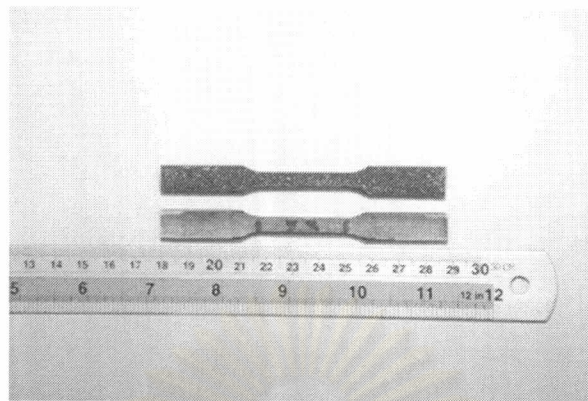
ପରିଚାଳନା ଅତିକାଳୀନ ମହିନେ ପରିଚାଳନା କରିବାକୁ ଆବଶ୍ୟକ ହେଲା (HB)

ແກ່ງມາດຖານ	ຄວາມເປົ້າຈຸກຄາດ (HV25g)
1	117.8
2	115.4
3	109.9
4	117.6
5	114.4
ເຂົ້າສຳລັບ	115.02
ຄໍາສົກນມະນະຍາກນາມ ທອງການ	3.21

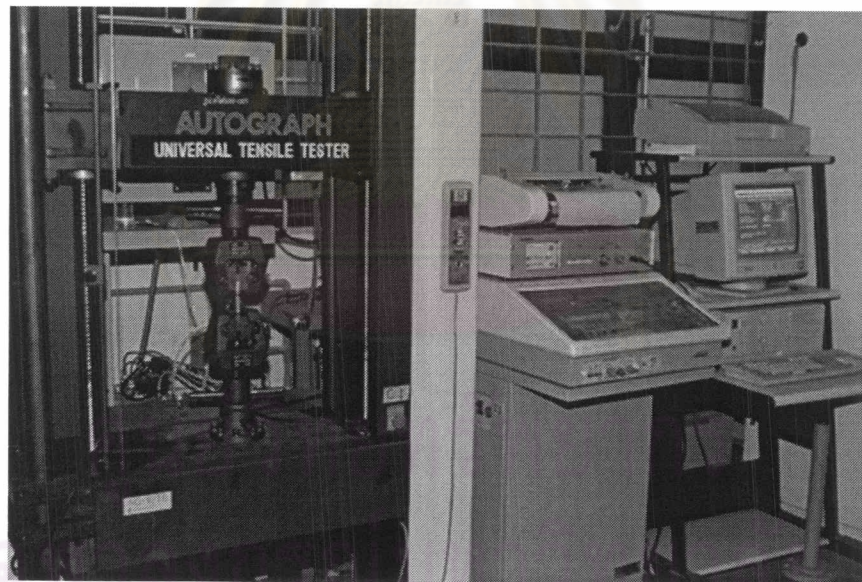
ตารางที่ 74 ความเสี่ยงภัย (Hv25g) บริเวณโภคภาระทางสูบสูบต่อสุขภาพ 800°, 900°, 1000 และ 1100 ° ที่ ประเมิน 1, 3, 10 และ 24 ชม.

ค ความเมตตา (HB) ของพืชแล้วอย่างมากที่สุดแล้ว การบูรณะตัวเองตามวิถีธรรมชาติ ที่อยู่ในหมู่บ้าน 800° 900° 1000° และ 1100° ก็จะเป็นไปได้โดยง่าย

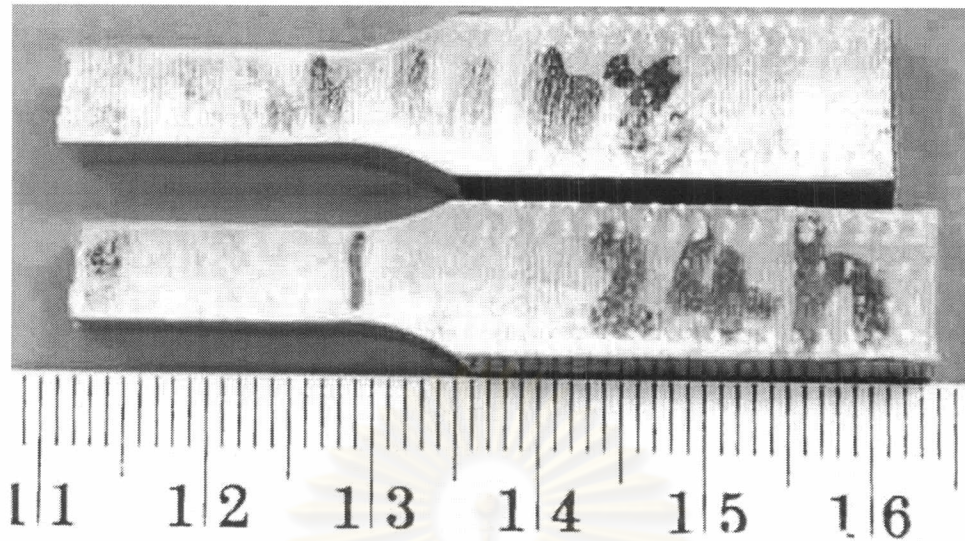
ภาคผนวก ๔



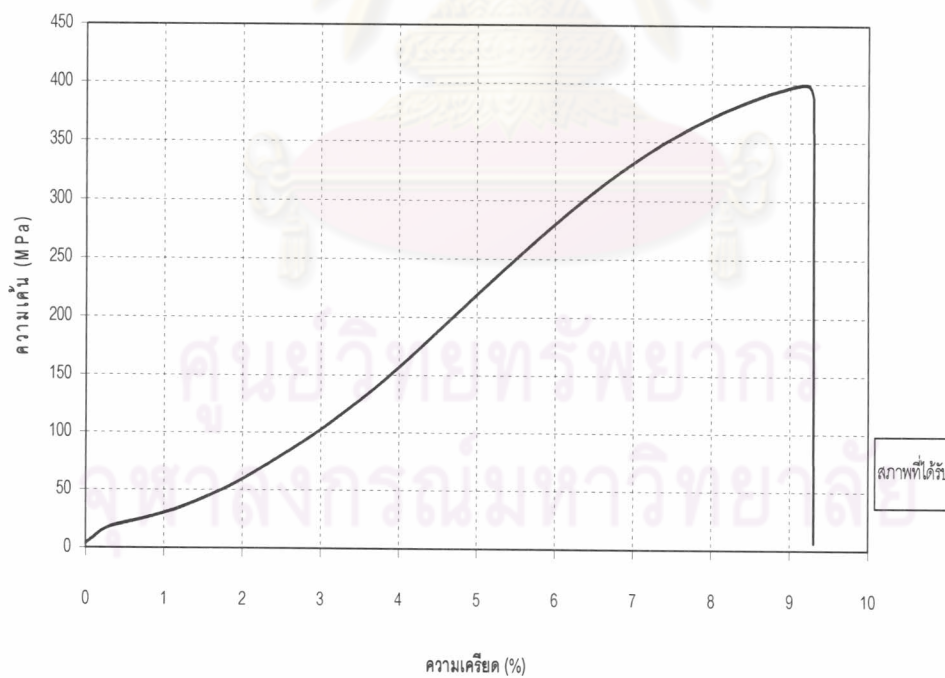
รูปที่ ๑. ชิ้นทดสอบแรงดึง เต็รียมตามมาตรฐาน ASTM E 8M



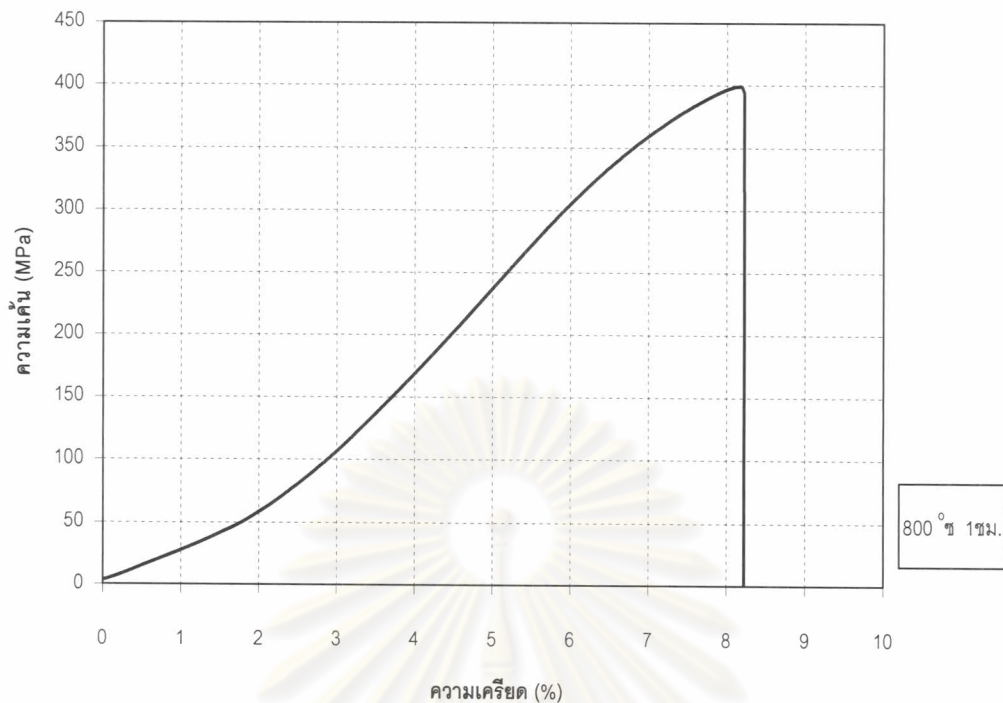
รูปที่ ๒. เครื่องทดสอบแรงดึง UNIVERSAL TENSILE TESTER



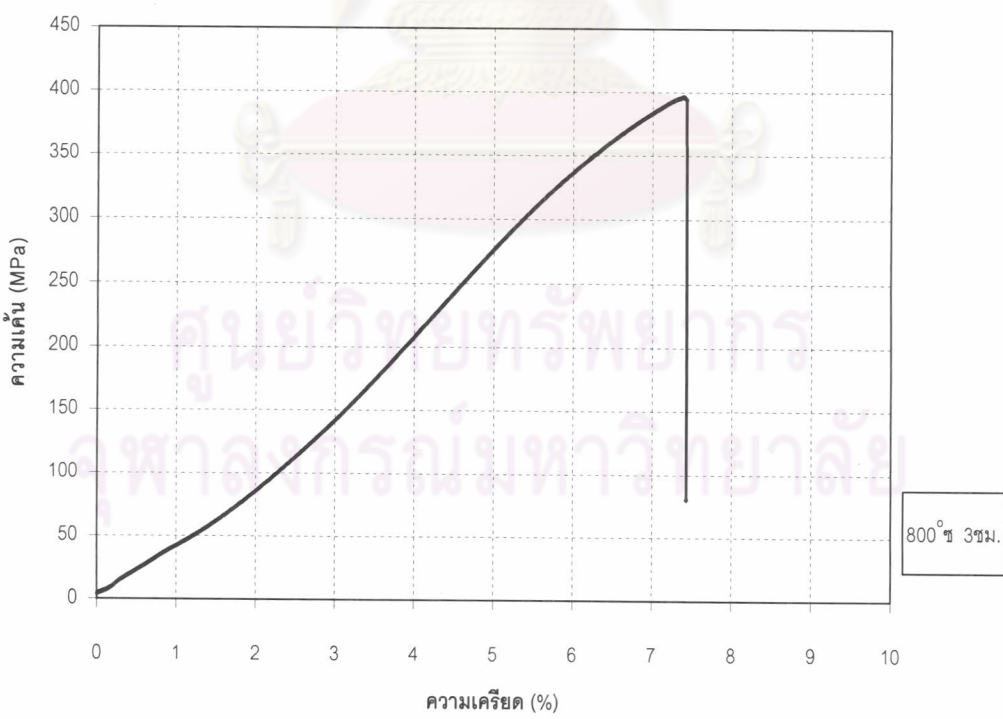
รูปที่ 3. ชิ้นทดสอบแรงดึงดีบุ้นตัวอย่าง 800 °ซ. 24 ชม. หลังการทดสอบ



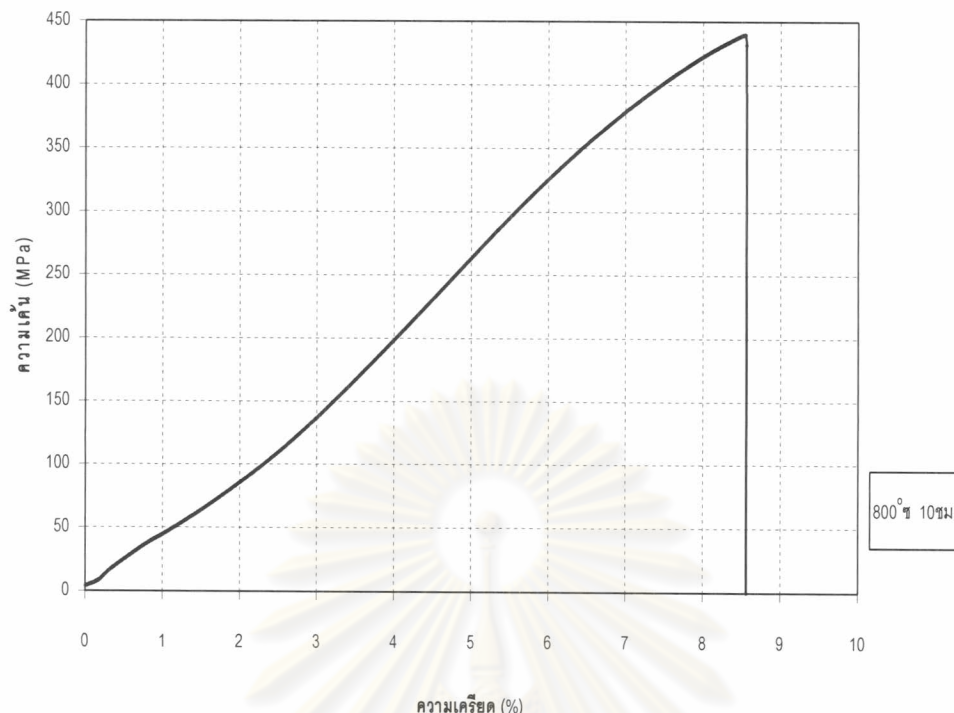
รูปที่ 4. กราฟความเด่น-ความเครียดของชิ้นตัวอย่างในสภาพที่ได้รับ



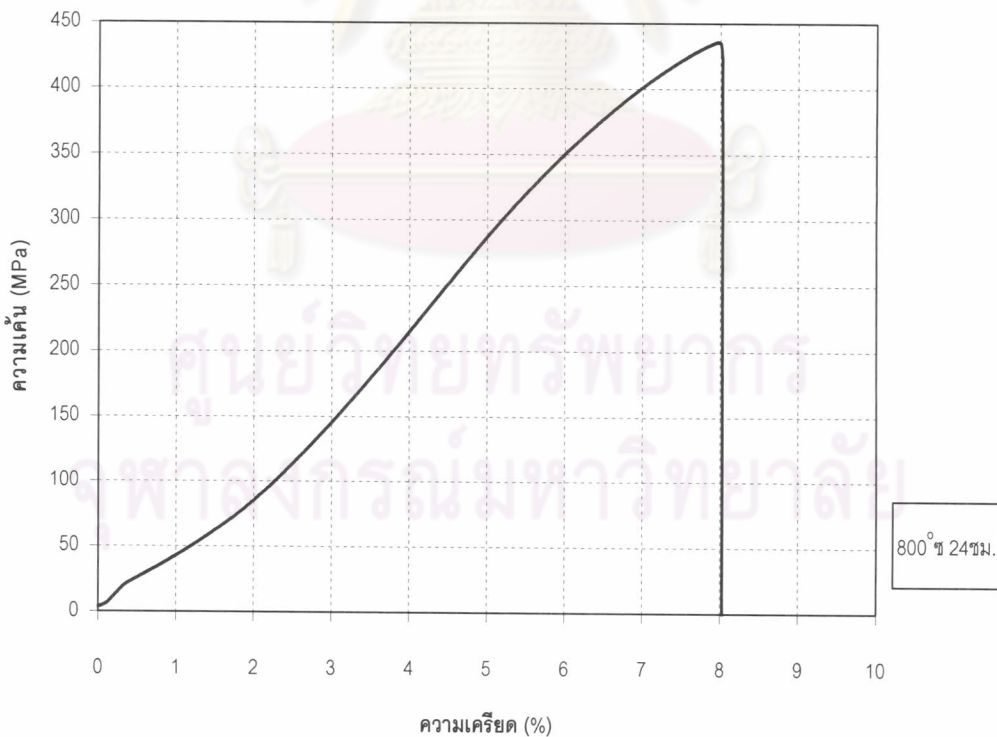
รูปที่ 5. กราฟความเดัน-ความเครียดของชิ้นตัวอย่างภายหลังการอบที่ 800°C 1 ชม.



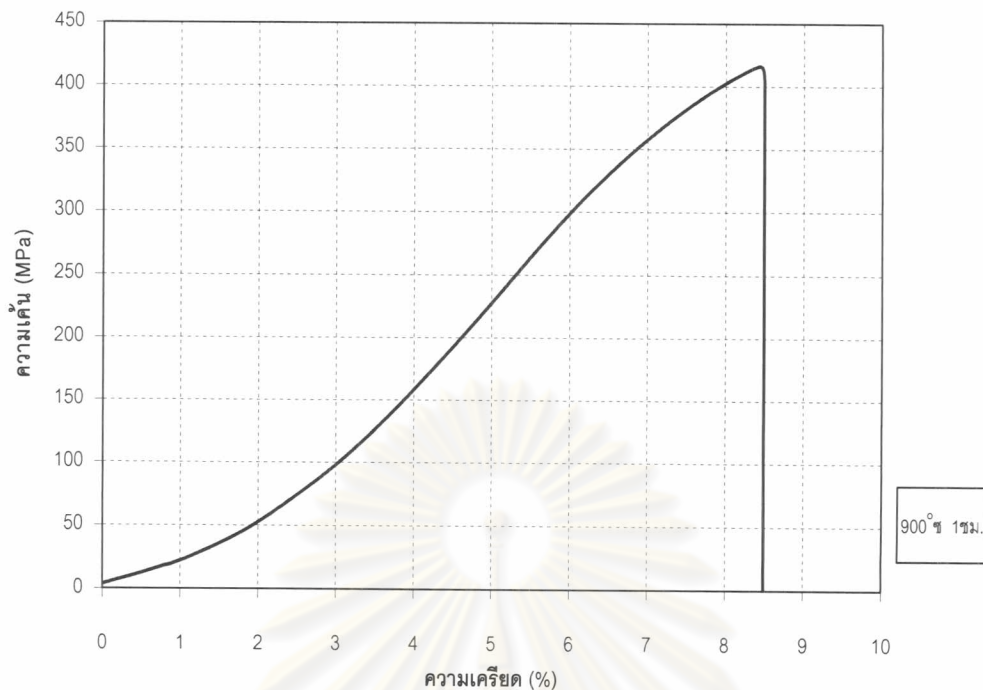
รูปที่ 6. กราฟความเดัน-ความเครียดของชิ้นตัวอย่างภายหลังการอบที่ 800°C 3 ชม.



รูปที่ 7. กราฟความเด่น-ความเครียดของชิ้นตัวอย่างภายหลังการอบที่ 800 ° ช 10 ชม.



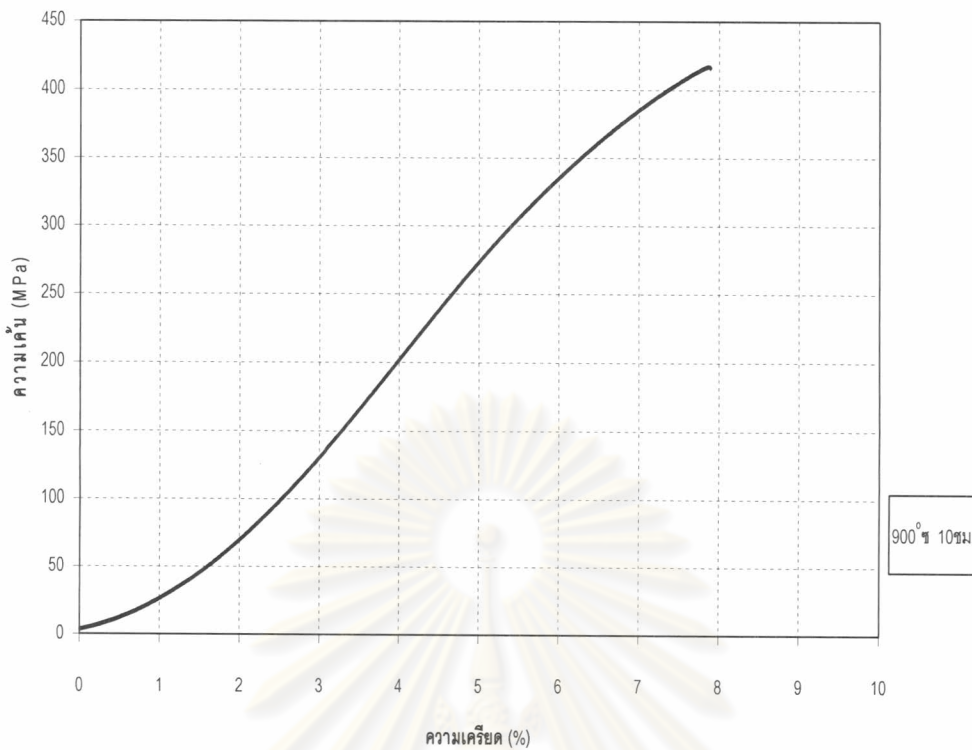
รูปที่ 8. กราฟความเด่น-ความเครียดของชิ้นตัวอย่างภายหลังการอบที่ 800 ° ช 24 ชม.



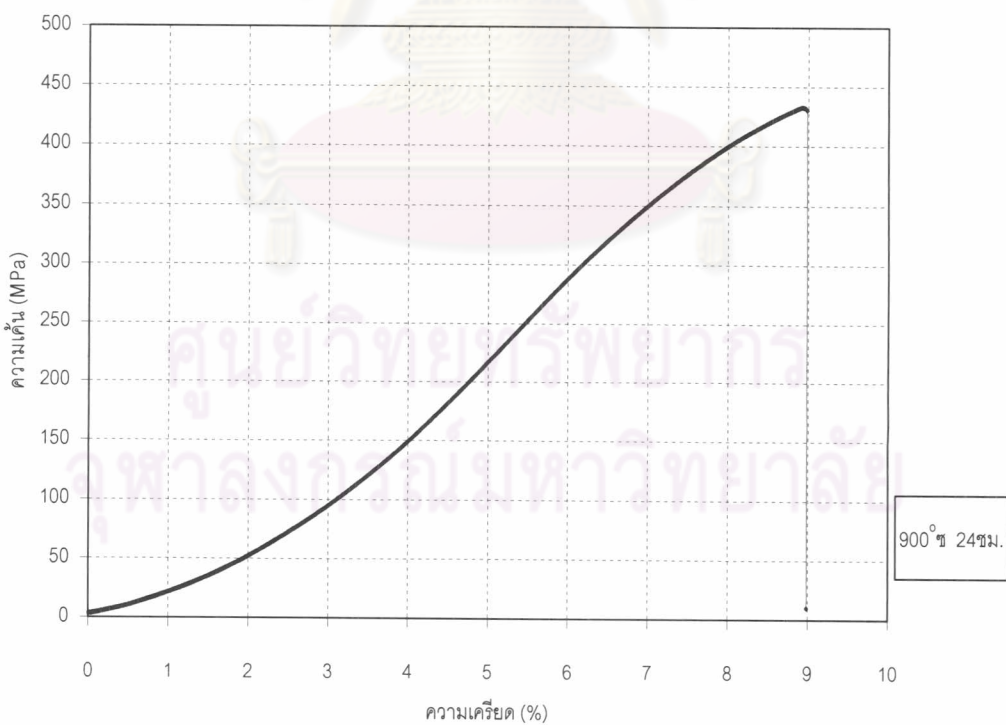
รูปที่ 9. กราฟความเด่น-ความเครียดของชิ้นตัวอย่างภายหลังการอบที่ 900 °ซ 1 ซม.



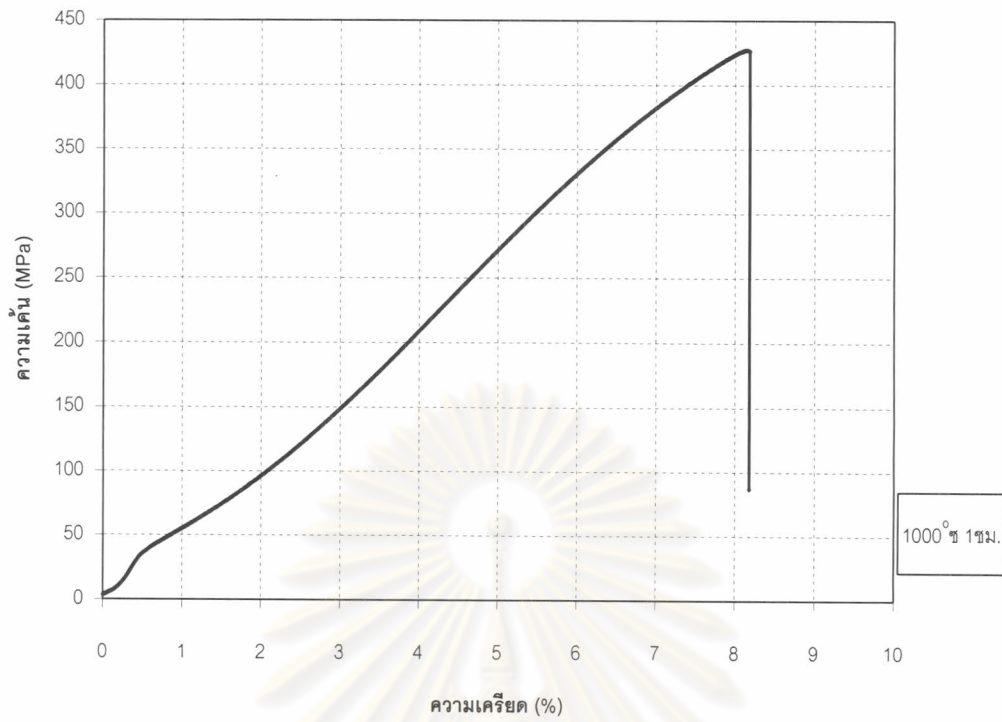
รูปที่ 10. กราฟความเด่น-ความเครียดของชิ้นตัวอย่างภายหลังการอบที่ 900 °ซ 3 ซม.



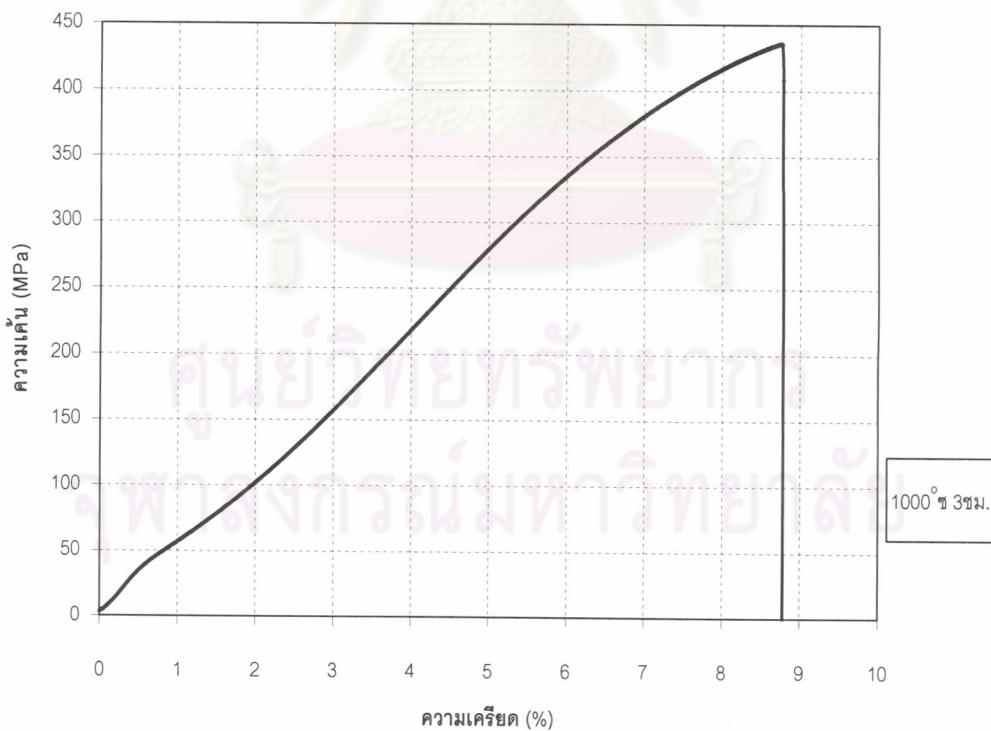
รูปที่ 11. กราฟความเค้น-ความเครียดของชิ้นตัวอย่างภายหลังการอบที่ 900°C 10 ชม.



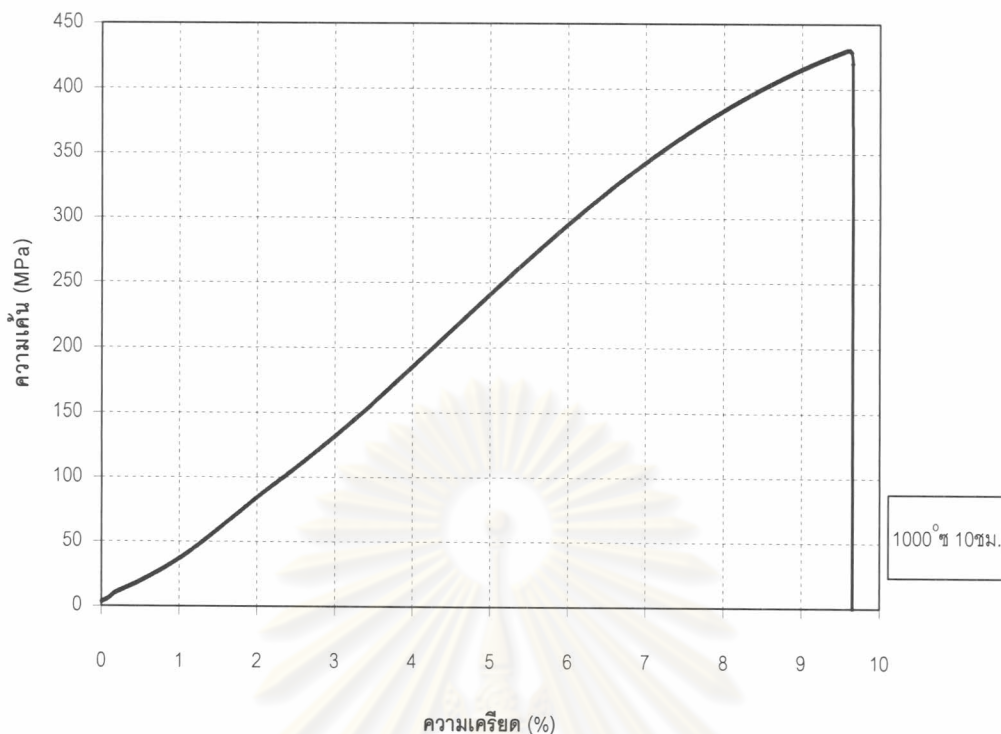
รูปที่ 12. กราฟความเค้น-ความเครียดของชิ้นตัวอย่างภายหลังการอบที่ 900°C 24 ชม.



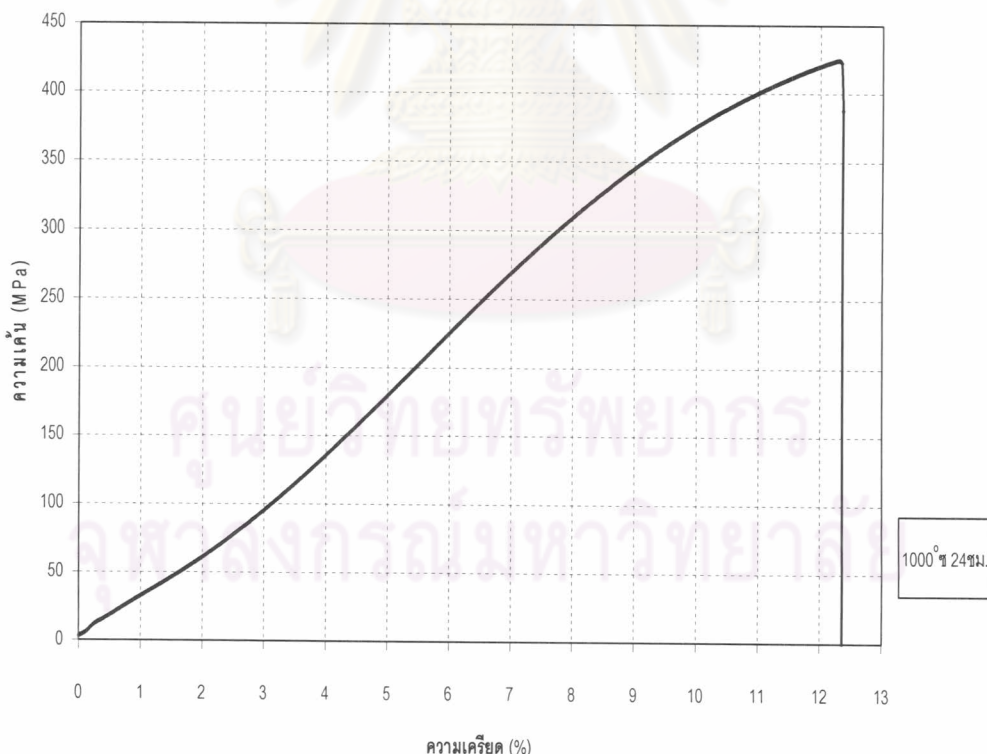
รูปที่ 13. กราฟความเด่น-ความเครียดของชิ้นตัวอย่างภายหลังการอบที่ 1000 °C 1 ชม.



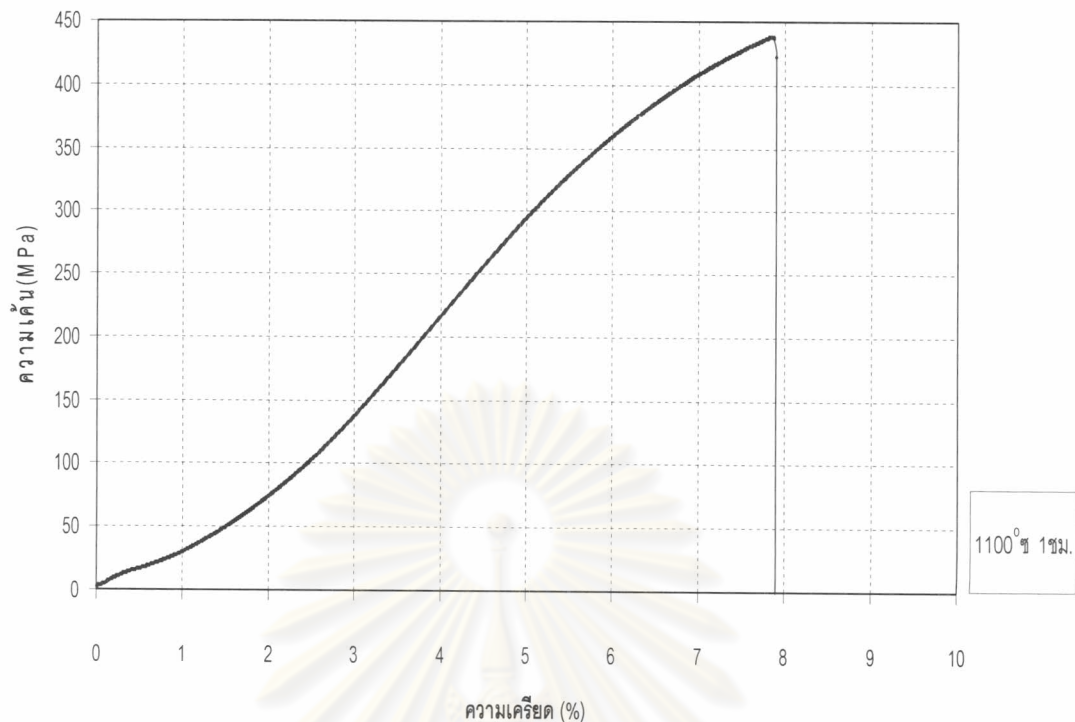
รูปที่ 14. กราฟความเด่น-ความเครียดของชิ้นตัวอย่างภายหลังการอบที่ 1000 °C 3 ชม.



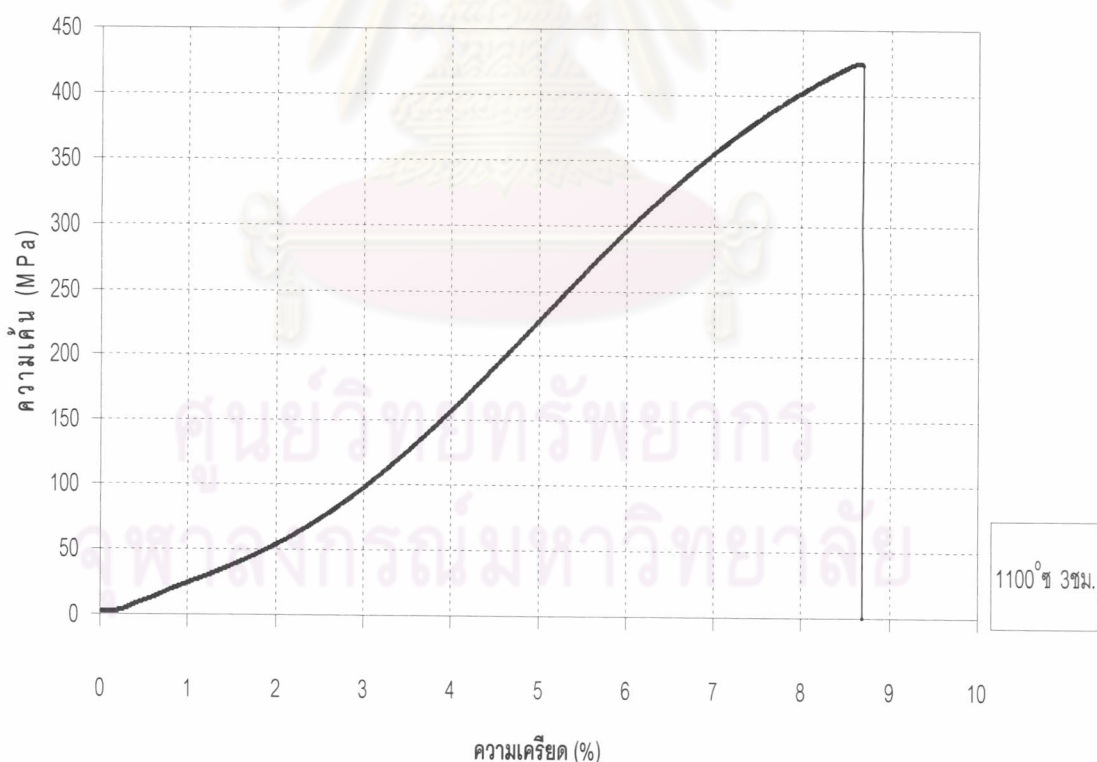
รูปที่ 15. กราฟความเด่น-ความเครียดของชิ้นตัวอย่างภายหลังการอบที่ $1000^{\circ}\text{ช} 10\text{ชม.}$.



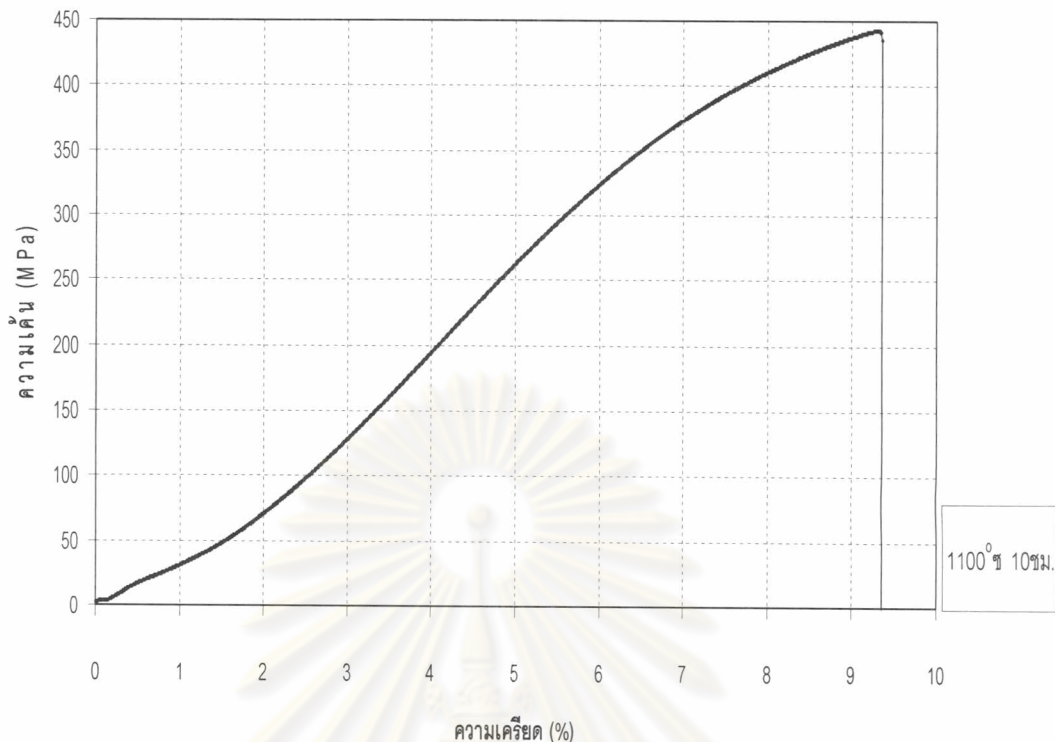
รูปที่ 16. กราฟความเด่น-ความเครียดของชิ้นตัวอย่างภายหลังการอบที่ $1000^{\circ}\text{ช} 24\text{ชม.}$.



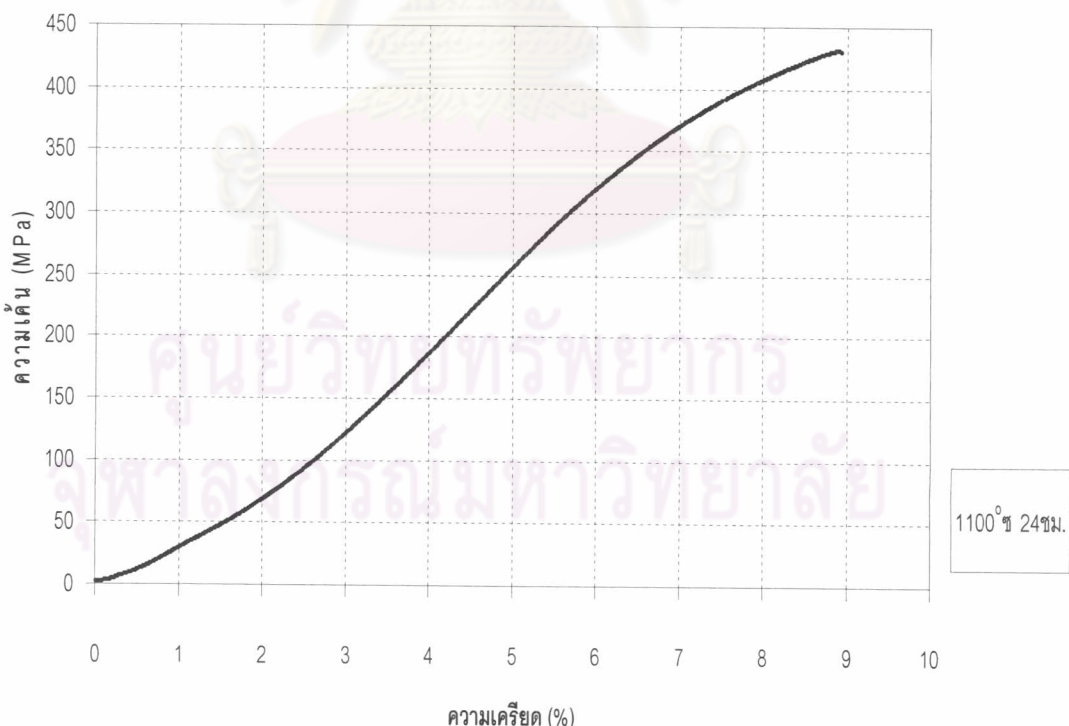
รูปที่ 17. กราฟความเด็น-ความเครียดของชิ้นตัวอย่างภายหลังการอบที่ 1100 ° ช 1 ชม.



รูปที่ 17. กราฟความเด็น-ความเครียดของชิ้นตัวอย่างภายหลังการอบที่ 1100 ° ช 3 ชม.



รูปที่ 18. กราฟความเค้น-ความเครียดของชิ้นตัวอย่างภายหลังการอบที่ 1100°C 10 ชม.



รูปที่ 19. กราฟความเค้น-ความเครียดของชิ้นตัวอย่างภายหลังการอบที่ 1100°C 24 ชม.

ตารางที่ 1. ผลการทดสอบคุณสมบัติเชิงกลของโลหะผสมเหล็ก นิกเกิล 30.8% โครเมียม 26.6%

สภาพ	ความเค้นดึงสูงสุด(MPa)	0.2% proof stress (MPa)	เบอร์เซ็นต์การยืด (%)	Modulus of Toughness (จูล)
สภาพเดิมรับ	399	330	9.30	58.46
800 °C 1 ชม.	399	370	8.2	37.14
800 °C 3 ชม.	406	369	8.85	34.81
800 °C 10 ชม.	440	376	8.56	35.73
800 °C 24 ชม.	436	362	8.02	36.44
900 °C 1 ชม.	416	340	8.78	35.86
900 °C , 3 ชม.	412	340	7.67	33.16
900 °C 10 ชม.	417	360	8.03	32.42
900 °C 24 ชม.	433	363	9.19	37.84
1000 °C 1 ชม.	427	381	8.54	32.62
1000 °C 3 ชม.	436	365	9.36	42.34
1000 °C 10 ชม.	430	376	10.02	42.75
1000 °C 24 ชม.	425	350	10.33	44.94
1100 °C 1 ชม.	438	350	7.89	48.02
1100 °C 3 ชม.	425	365	8.69	43.64
1100 °C 10 ชม.	442	365	9.36	48.6
1100 °C 24 ชม.	431	375	9.94	48.38

จุฬาลงกรณ์มหาวิทยาลัย

ภาคผนวก ๙

ตารางที่ ๑. การ校正แบบคร่าวๆ Emission spectroscopy

Recalibration Data 12/01/2003 13:46					
Program Name : Ni-NEW					
Analytical Task : Ni - base global					
Last recalibration : 12/01/2003 10:02:48					
Channel	Factor	Expect	Actual	Sample	Expect
Si	1.176	0	0	/-	3467
Mn	1.473	1489	1874	RNI11/6	10759
Cu	1.021	0	0	/-	980
Cr2	1.239	337	290	RNI11/6	16690
Cr	1.099	166	81	RNI11/6	16750
Cr2	1.250	151	130	RNI11/6	6739
Fe	1.150	2000	525	RNI11/6	13756
Fe2	1.170	258	212	RNI11/6	11059
Mo	1.074	400	298	RNI11/6	37718
Mo2	1.025	866	686	RNI11/6	5418
Co	0.953	245	653	RNI11/6	46730
Ti	1.081	1356	1333	RNI11/6	19189
Al	0.922	283	189	RNI11/6	17892
Al2	0.863	203	131	RNI11/6	2900
Nb	1.476	255	140	RNI11/6	36933
W	0.939	580	626	RNI11/6	9140
Low Point			High Point		
Actual	Sample	Expect	Actual	Sample	Expect

ศูนย์วิทยทรัพยากร
จุฬาลงกรณ์มหาวิทยาลัย

ตารางที่ ๑๒. ผลการทดสอบแบบทั่วไปมาตรฐาน HC ๕

ครุภัติ ทดสอบ	Si	Mn	Cr	Ni	Mo	Cu	Co	Al	Nb	Ti	W	Fe	C
1	1.49	0.35	19.7	49.8	15.7	0.014	0.37	0.20	0.12	0.013	5.28	7.00	-
2	1.48	0.34	19.9	49.7	15.6	0.014	0.37	0.20	0.12	0.011	5.30	6.99	-
3	1.48	0.34	19.8	49.7	15.7	0.015	0.37	0.20	0.12	0.009	5.36	6.90	-
4	1.50	0.35	19.8	49.8	15.5	0.014	0.37	0.20	0.12	0.011	5.33	7.08	-
เฉลี่ย	1.49	0.35	19.8	49.7	15.6	0.014	0.37	0.20	0.12	0.011	5.32	6.99	-
HC ๕	1.51	0.27	19.8	50.40	15.6	-	0.11	-	-	-	5.3	6.70	0.20
$\Delta 1$	0.02	-0.08	-	0.7	-	-0.014	-0.26	-0.20	-0.12	-0.011	-0.02	-0.29	0.20
ค่าคงนิรบุรุษ มาตรฐาน	0.0096	0.00578	0.0816	0.0577	0.0957	0.0005	-	-	-	0.0016	0.035	0.0736	0.0096

$\Delta 1 = HC 5 - \text{ค่าเฉลี่ย}$

ตารางที่ ๔๓. ผลการทดสอบข้อบ่งชี้มาตรฐาน 18002

ตัวอย่าง ทดสอบ	Si	Mn	Cr	Ni	Mo	Cu	Co	Al	Nb	Ti	W	Fe	C
1	0.37	1.23	16.9	8.58	0.19	0.11	0.060	0.006	1.34	0.021	0.054	70.9	0.22
2	0.38	1.22	17.0	8.61	0.18	0.11	0.068	0.006	1.30	0.023	0.057	70.8	0.23
3	0.37	1.23	17.0	8.66	0.19	0.11	0.060	0.008	1.34	0.024	0.053	70.6	0.21
เฉลี่ย	0.37	1.23	17.0	8.62	0.19	0.11	0.062	0.007	1.33	0.023	0.055	70.8	0.22
18002	0.59	1.18	17.49	8.32	0.23	0.13	0.07	-	1.49	-	-	70.17	0.24
$\Delta 2$	0.22	-0.05	0.49	-0.3	0.04	0.02	0.008	-0.007	0.16	-0.023	-0.055	-0.63	0.02
ค่าส่วน เบี่ยงเบน มาตรฐาน	0.0058	0.0058	0.0577	0.0404	0.0058	-	0.0046	0.0012	0.0231	0.0015	0.0021	0.1528	0.01

$$\Delta 2 = 18002 - \text{ค่าเฉลี่ย}$$

ຕາງ່າງທີ່ 4. ຜົກກາງທົດສອບແກ່ນມາຕຽບຈານ 11381

ເຫັນທີ່ ທົດສອບ	Si	Mn	Cr	Ni	Mo	Cu	Co	Al	Nb	Ti	Fe	W
1	0.49	0.41	20.0	65.0	8.95	0.004	0.34	0.38	0.52	2.58	1.20	0.11
2	0.47	0.41	20.1	65.0	8.93	0.004	0.34	0.38	0.52	2.59	1.20	0.11
3	0.48	0.40	20.1	64.9	8.99	0.005	0.34	0.38	0.51	2.57	1.18	0.11
4	0.48	0.40	20.1	64.9	8.96	0.006	0.34	0.39	0.52	2.60	1.22	0.11
ໃຈລະ	0.48	0.40	20.1	64.9	8.96	0.005	0.34	0.38	0.52	2.58	1.20	0.11
11381	0.30	0.43	19.76	66.40	9.47	0.008	(0.047)	0.41	-	2.48	0.70	-
Δ_3	-0.18	0.03	-0.34	1.5	0.51	0.003	-0.29	0.03	-0.52	-0.1	-0.5	-0.11
ຄໍາສ່ວນ ໄປຍະປາໄ ມາຕຽບຈານ	0.0081	0.0057	0.05	0.0577	0.025	0.0009	-	0.005	0.005	0.0129	0.0163	-

$$\Delta_3 = 11381 - \text{ຄໍາໃຊ້ສົມ}$$

Certificate of Analysis ของย่างมาร์คุน HC5 18002 ลงวันที่ 11/3/2018

ตารางที่ ๗ ผลการวิเคราะห์ส่วนผสมเคมี (เบอร์เจ็ทต์โดยน้ำหนัก) ด้วยเครื่อง Emission Spectroscopy ของหลังผสานเหล็ก นิเกิล ๓๐.๘% โครงรูป ๒๖.๖% ในส่วนที่ได้รับ

	C	Si	Mn	Cr	Ni	Mo	Cu	Co	Al	Nb	Ti	V	W	Pb	Fe
គ្រឿងកាត់សរបតប															
1	0.30	1.43	1.40	26.6	30.8	<0.004	0.050	0.17	0.004	0.69	0.054	0.049	0.24	0.005	38.2
2	0.30	1.44	1.40	26.6	30.9	<0.004	0.050	0.17	0.004	0.68	0.054	0.049	0.24	0.006	38.1
3	0.30	1.43	1.40	26.5	30.8	<0.004	0.050	0.17	0.003	0.69	0.054	0.048	0.24	0.005	38.3
ឡូតិម	0.30	1.43	1.40	26.6	30.8	<0.004	0.050	0.17	0.003	0.68	0.054	0.049	0.24	0.005	38.2
គ្រឿងកាត់សរបតប នាក់ទីក្រុងប្រព័ន្ធមួយ	-	0.006	-	0.06	0.06	-	-	-	-	0.006	0.006	-	-	0.006	0.1

Certificate ของโกลด์ฟัลส์เมห์เล็ค นิวเกิร์ด 30.8% กอร์นี่ย์ม 26.6%

REMARQUES  CLIENT : Customer : GOURA&BB THAILAND Qualité & Ancienneté : MAMAHITH KH Weltkund: 32-A9 87-26		CERTIFICAT D'ANALYSE ET D'ESSAIS MEC. CHEMICAL ANALYSIS AND MECHANICAL PROPS TEST CERTIFICATE CHEMISCHE ANALYSE UND MECHANISCHE PROPS TESTZERTIFIKAT		TOILES TEST CLOTHES TESTSTOFFE																																																																																					
				BULLETTIN CONCERNANT REF. NO.: 54379 / 202																																																																																					
				Con- Box No.: 6 2000 100																																																																																					
				CONTENUS CONTENTS INHALTE																																																																																					
				PC BAG 1 5 REV 0 PG BAG 1 A 2 REV 8																																																																																					
				Compositions chimiques et caractéristiques chimiques selon Chemical Analysis and Chemical Characteristics according to Wertkund: GOURA&BB																																																																																					
				Représ. Test no.: 120 1.1 120 1.2																																																																																					
				Diamètre des tubes : GR Désignation des Sacs : GR																																																																																					
				Analyse imposée																																																																																					
				<table border="1"> <thead> <tr> <th></th> <th>C</th> <th>H</th> <th>N</th> <th>P</th> <th>S</th> <th>NI</th> <th>CR</th> <th>HO</th> <th>NB</th> <th>AL</th> <th>CH</th> <th>PB</th> <th>MI</th> </tr> </thead> <tbody> <tr> <td>Mini</td> <td>0.450</td> <td></td> <td>1.500</td> <td></td> <td></td> <td>31.000</td> <td>24.000</td> <td></td> <td>0.500</td> <td></td> <td></td> <td></td> <td>450.0</td> </tr> <tr> <td>MINI</td> <td>0.500</td> <td>1.500</td> <td>2.000</td> <td>0.030</td> <td>0.030</td> <td>36.000</td> <td>27.000</td> <td>0.200</td> <td>1.000</td> <td>0.050</td> <td>0.250</td> <td>20.000</td> <td>250.0</td> </tr> <tr> <td>MINI</td> <td>SN</td> <td>TR</td> <td>ZN</td> <td>AS</td> <td></td> <td></td> <td></td> <td></td> <td></td> <td></td> <td></td> <td></td> <td></td> </tr> <tr> <td>MINI</td> <td>PPH</td> <td></td> <td>PPH</td> <td></td> </tr> <tr> <td>MINI</td> <td>100.000</td> <td>+</td> <td>100.000</td> <td>100.000</td> <td></td> <td></td> <td></td> <td></td> <td></td> <td></td> <td></td> <td></td> <td></td> </tr> </tbody> </table>			C	H	N	P	S	NI	CR	HO	NB	AL	CH	PB	MI	Mini	0.450		1.500			31.000	24.000		0.500				450.0	MINI	0.500	1.500	2.000	0.030	0.030	36.000	27.000	0.200	1.000	0.050	0.250	20.000	250.0	MINI	SN	TR	ZN	AS										MINI	PPH		PPH											MINI	100.000	+	100.000	100.000									
	C	H	N	P	S	NI	CR	HO	NB	AL	CH	PB	MI																																																																												
Mini	0.450		1.500			31.000	24.000		0.500				450.0																																																																												
MINI	0.500	1.500	2.000	0.030	0.030	36.000	27.000	0.200	1.000	0.050	0.250	20.000	250.0																																																																												
MINI	SN	TR	ZN	AS																																																																																					
MINI	PPH		PPH																																																																																						
MINI	100.000	+	100.000	100.000																																																																																					
				Conformité Conformity Conformität																																																																																					
				PIÈCES, IC : Laboratory Test Report Testbericht																																																																																					
				Inspection Date Inspection Date Inspektionstermin																																																																																					
				PARIS, FR J-F. LE BLAS A. POLIDOR																																																																																					

ภาคผนวก ช

1. วิธีการหาสัดส่วนเชิงปริมาตร (% Vol. Fraction) ของคราบไปร์ทุติยภูมิโดยวิธี manual point counting ตามมาตรฐาน ASTM E562 มีขั้นตอนดังนี้

สัญลักษณ์:

P_T	= จำนวนจุดบน Grid
P_i	= จำนวนจุดที่นับได้ต่อ field
$P_{p(i)}$	= $P_i/P_T \times 100$ คือจำนวนจุดบน Grid ในแต่ละ field
$P_{p(average)}$	= $1/n \sum_{n=1}^n P_{p(i)}$ คือ ค่าเฉลี่ยเลขคณิตของ $P_{p(i)}$
SD.	= ค่าประมาณของส่วนเบี่ยงเบนมาตรฐาน
95%CI	= $\pm ts/\sqrt{n}$
t	= factor ตัวคูณสำหรับหาค่า 95% CI
V_v	= สัดส่วนเชิงปริมาตรของเฟสเป็นเปอร์เซ็นต์
%RA	= เปอร์เซ็นต์ความแม่นยำสัมพัทธ์ = $(95\%CI/P_{p(average)}) \times 100$

1.1 โดยการหาสัดส่วนเชิงปริมาตรของเฟสที่สนใจโดยประมาณเพื่อนำค่าที่ได้มาเลือก No. of Grid, No. of field และ %RA ที่เหมาะสมตามตารางที่ 3

ตารางที่ ช1 95% Confidence Interval Multipliers

No. of Fields n	t	No. of Fields n	t
5	2.776	19	2.101
6	2.571	20	2.093
7	2.447	21	2.086
8	2.365	22	2.080
9	2.306	23	2.074
10	2.262	24	2.069
11	2.228	25	2.064
12	2.201	26	2.060
13	2.179	27	2.056
14	2.160	28	2.052
15	2.145	29	2.048
16	2.131	30	2.045
17	2.120	40	2.020
18	2.110	60	2.000
		x	1.960

ตารางที่ ช2 การประมาณค่าตัวแปรที่จากค่าความแม่นยำสัมพัทธ์ที่ออกแบบไว้ และจากสัดส่วนปริมาตรของเฟสที่สนใจ

Prediction of the Number of Fields (n) to be Observed as a Function of the Desired Relative Accuracy and of the Estimated Magnitude of the Volume Fraction of the Constituent

Amount of volume fraction, V_v in percent	33 % Relative Accuracy				20 % Relative Accuracy				10 % Relative Accuracy			
	Number of fields n for a grid of $P_f =$				Number of fields n for a grid of $P_f =$				Number of fields n for a grid of $P_f =$			
	16 points	25 points	49 points	100 points	16 points	25 points	49 points	100 points	16 points	25 points	49 points	100 points
2	110	75	35	20	310	200	105	50	1,250	800	410	200
5	50	30	15	8	125	80	40	20	500	320	165	80
10	25	15	10	4	65	40	20	10	250	160	85	40
20	15	10	5	4	30	20	10	5	125	80	40	20

Note 1.—The given values in the table above are based on the formula:

$$n = \frac{4}{E^2} \frac{100 - V_v}{V_v}$$

where:

E = 0.01 \times % RA, and

V_v = is expressed in %.



ภาพที่ ช1. ชนิดของ Grid แบบวงกลม และสี่เหลี่ยม

1.2 นำ Grid ใส่ใน Eye piece แล้วเลือกกำลังขยายที่สามารถสังเกตขนาดเฟสที่สนใจได้ชัดเจน แล้วนับจำนวนจุดที่ตกบนเฟสที่สนใจ นับ 1 เมื่อตกลงในเฟส และนับ 0.5 เมื่อตกลงขอบของเฟส

1.3 นำจำนวนจุดที่นับได้มาคำหาค่าต่างๆ ดังนี้

1.3.1 เปอร์เซ็นต์เฉลี่ยของจุด

1.3.2 สวนเบี่ยงเบนมาตรฐาน

$$SD = \left[\frac{1}{n-1} \sum (Pp_{(i)} - Pp_{(\text{average})})^2 \right]^{1/2} \dots \dots \dots (12)$$

1.3.3 95%CI สำหรับ $P_{p(\text{average})}$

$$95\% \text{CI} = ts/\sqrt{n} \quad \dots \dots \dots \quad (13)$$

หมายเหตุ : กรณีที่ No. of field น้อยกว่า 30 ในการหาค่า 95%CI ให้คูณด้วยตัวคูณในตารางที่ ๑.

2. วิธีการคำนวณหาค่า $Pp_{(average)}$, V_v , 95% CI และ Standard Deviation (SD.)

ทำการนับเฟสตามวิธีที่กล่าวไว้ข้างบน โดยใช้ grid ขนาด 100 และนับทั้งหมด 20 field นำจำนวนจุดที่นับได้ในแต่ละ field มาหาค่า Ppi และ $Pp_{(average)}$ ตามสมการที่ ช1. และนำค่าที่ได้มาค่าส่วนเบี่ยงเบนมาตรฐาน และ 95% CI ตามสมการที่ ช2. และ ช3. ตามลำดับ ดังแสดงในตารางที่ ช3. และ ช4. และผลการวิเคราะห์ของทักษิณตัวอย่างแสดงในตารางที่ ช5.

ตารางที่ ช 3. สัดส่วนเชิงปริมาตรของชิ้นตัวอย่างในสภาพที่ได้รับ

No. of Grid : 100	Standard Deviation (SD.) : 4.55
No. of field : 20	95% CI : 2.18
P _{p(average)} : 10.82	V _v (%) : 10.82 ± 2.18

Field No.	Counts	Ppi	(Ppi-P _{p(average)}) ²
1	17.5	17.5	44.56
2	4	4	46.58
3	6	6	23.28
4	7	7	14.63
5	10	10	0.68
6	8	8	7.98
7	8.5	8.5	5.40
8	15	15	17.43
9	11	11	0.03
10	15	15	17.43
11	6.5	6.5	18.70
12	6.5	6.5	18.70
13	19.5	19.5	75.26
14	10	10	0.68
15	6.5	6.5	18.70
16	13.5	13.5	7.16
17	13.5	13.5	7.16
18	9.5	9.5	1.75
19	10	10	0.68
20	19	19	66.83
		SUM = 216.5	SUM = 393.64

ตารางที่ ๑๔ สัดส่วนเชิงปริมาตรของชั้นตัวอย่างภายในหลังการอบที่ 800°C ๑๐นาที

No. of Grid : 100	Standard Deviation (SD.) : 3.17
No. of field : 20	95% CI : 1.52
Pp _(average) : 5.3	V _v (%) : 5.3 \pm 1.52

Field No.	Counts	Ppi	$(\text{Ppi}-\text{Pp}_{(\text{average})})^2$
1	8	8	7.29
2	5.5	5.5	0.04
3	5	5	0.09
4	3	3	5.29
5	3	3	5.29
6	14	14	75.69
7	6	6	0.49
8	6	6	0.49
9	3	3	5.29
10	6	6	0.49
11	10.5	10.5	27.04
12	2	2	10.89
13	2	2	10.89
14	5	5	0.09
15	1	1	18.49
16	6.5	6.5	1.44
17	2	2	10.89
18	8	8	7.29
19	6	6	0.49
20	3.5	3.5	3.24
		SUM =106	SUM =191.2

ตารางที่ 15. สรุปผลการหาสัดส่วนเชิงปริมาตรของสาร์บีเปร์ทุติยภูมิ โดยวิธี manual point count

ชั้นตัวอย่าง	SUM Ppi	$\text{SUM} (\text{Ppi}-\text{Pp}_{(\text{average})})^2$	$\text{Pp}_{(\text{average})}$	SD.	95%CI	Vol. fraction
สภาพเดิม	216.50	393.64	10.82	4.55	2.18	-
800 °ซ 5นาที	-	-	-	-	-	-
800 °ซ 10นาที	106.00	191.20	5.30	3.17	1.52	0.32
800 °ซ 15นาที	216.00	536.70	10.80	4.65	2.55	0.50
800 °ซ 30นาที	181.00	268.45	9.05	3.66	1.71	0.46
800 °ซ 1 ชม.	339.00	184.95	16.95	2.52	1.21	0.61
800 °ซ 3 ชม.	369.00	556.95	18.45	5.41	2.60	0.63
800 °ซ 10 ชม.	452.00	780.8	22.60	6.41	3.08	0.68
800 °ซ 24 ชม.	465.00	495.95	24.35	5.84	2.80	0.69
900 °ซ 10 วินาที	-	-	-	-	-	-
900 °ซ 30 วินาที	15.00	13.75	3.35	1.60	0.78	0.24
900 °ซ 60 วินาที	94.00	56.20	5.95	2.64	1.27	0.35
900 °ซ 120 วินาที	123.00	35.14	6.47	1.36	0.65	0.37
900 °ซ 5 นาที	233.00	314.07	12.26	4.06	1.95	0.53
900 °ซ 15 นาที	350.00	579.00	17.50	5.52	2.65	0.62
900 °ซ 30 นาที	397.00	930.55	0.75	0.85	0.41	0.06
900 °ซ 1ชม.	439.00	762.45	21.95	6.33	3.04	0.67
900 °ซ 3ชม.	391.50	559.64	19.58	5.43	2.60	0.64
900 °ซ 10 ชม.	516.00	999.20	25.80	7.25	3.48	0.70
900 °ซ 24 ชม.	549.00	1070.95	27.45	7.51	3.60	0.72
1000 °ซ 5 วินาที	-	-	-	-	-	-
1000 °ซ 10 วินาที	26.00	12.20	1.30	0.48	0.38	0.11
1000 °ซ 30 วินาที	92.00	36.80	3.80	1.64	0.79	0.26
1000 °ซ 60 วินาที	178.00	152.30	8.90	2.83	1.35	0.45
1000 °ซ 120วินาที	176.00	157.20	8.80	2.87	1.38	0.45
1000 °ซ 5 นาที	306.50	835.14	15.32	6.63	3.18	0.59
1000 °ซ 15 นาที	432.50	483.44	21.62	5.04	2.42	0.67
1000 °ซ 30 นาที	479.00	1178.95	23.95	7.88	3.78	0.69
1000 °ซ 1 ชม.	569.00	2017.45	28.45	10.30	4.95	0.72
1000 °ซ 3 ชม.	521.50	824.14	26.08	6.59	3.16	0.71
1000 °ซ 10ชม.	500.00	616.00	25.00	6.59	2.73	0.70
1000 °ซ 24ชม.	520.50	1411.24	26.02	8.62	3.95	0.71
1100 °ซ 5 วินาที	-	-	-	-	-	-
1100 °ซ 10 วินาที	58.00	29.80	1.20	0.50	0.24	0.1
1100 °ซ 30 วินาที	112.50	126.69	2.00	1.17	0.56	0.16
1100 °ซ 60 วินาที	77.50	49.26	4.08	1.61	0.77	0.27
1100 °ซ 120วินาที	111.50	148.64	5.58	2.80	1.34	0.34
1100 °ซ 5 นาที	163.00	200.72	8.58	3.25	1.56	0.54
1100 °ซ 15นาที	253.00	110.05	12.65	2.41	1.56	0.52
1100 °ซ 30นาที	221.50	366.43	11.66	4.39	2.11	0.58
1100 °ซ 1 ชม.	283.50	25.79	14.92	5.42	2.60	0.56
1100 °ซ 3 ชม.	278.00	382.30	13.90	4.48	2.15	0.58
1100 °ซ 10ชม.	281.00	594.38	14.79	5.59	2.68	0.6
1100 °ซ 24ชม.	305.00	602.63	16.05	5.63	2.70	0.54

3. จلنพลศสตร์ของการตักเตกของคนของคาวีเป็นด้วยภูมิในท่อโลหะผสมเหล็ก นิกเกิล 30.8% โครเมียม 26.6%

3.1 การประเมินค่าตัวแปร

จากสมการของ Jonhson-Mehl และ Avrami

$$X = 1 - \exp(-kt^n) \dots \dots \dots (1)$$

สมการที่ ๒ นำมารวบรวมระหว่าง $\log \ln [1/(1-X)]$ กับ $\log t$ จะได้สมการเส้นตรง ซึ่งสามารถหาค่า k ได้จากความชันและค่า $\log k$ จากจุดตัดแกน ตารางที่ ๑๐ และค่าตัวแปรทั้งหมดได้แสดงไว้ในตารางที่ ๔๓-๔๖ และรูปที่ ๑-๑๐

3.2 การหาผลลัพธ์งานกระตุ้น (Q)

จากสมการอาร์เรเนียส

$$k = k_0 \exp(-Q/RT) \dots \quad (13)$$

สมการที่ ๔ นำมาplot ระหว่าง $\log k$ กับ $(1/T)$ ได้สมการเส้นตรง ซึ่งสามารถหาค่า Q ได้จากความชันและค่า $\log k_0$ จากจุดตัดแกน รูปที่ ๑๑-๑๒

ตารางที่ ช.6. ค่าตัวแปรตามสมการเส้นตรงของ Johnson-Mehl และ Avrami ของชิ้นตัวอย่าง
ภายหลังการอบที่ 800°C ที่เวลาต่างๆ กัน

t(s)	X	$1/(1-X)$	$\ln [1/(1-X)]$	$\log t$	$\log \ln[1/(1-X)]$
300	0.01	1.01	0.01	2.48	-2.00
350	0.02	1.02	0.02	2.48	-1.69
400	0.05	1.05	0.05	2.60	-1.29
450	0.086	1.09	0.09	2.65	-1.05
500	0.12	1.14	0.13	2.70	-0.89
550	0.15	1.18	0.16	2.74	-0.79
600	0.19	1.23	0.21	2.78	-0.68
650	0.22	1.28	0.25	2.81	-0.60
700	0.25	1.33	0.29	2.85	-0.54
800	0.3	1.43	0.36	2.90	-0.45
900	0.33	1.49	0.40	2.95	-0.40
1000	0.38	1.61	0.48	3.00	-0.32
1500	0.51	2.04	0.71	3.18	-0.15
2000	0.62	2.63	0.97	3.30	-0.01
3000	0.65	2.86	1.05	3.48	0.02

ตารางที่ ช.7. ค่าตัวแปรตามสมการเส้นตรงของ Johnson-Mehl และ Avrami ของชิ้นตัวอย่างภายหลัง
การอบที่ 900°C ที่เวลาต่างๆ กัน

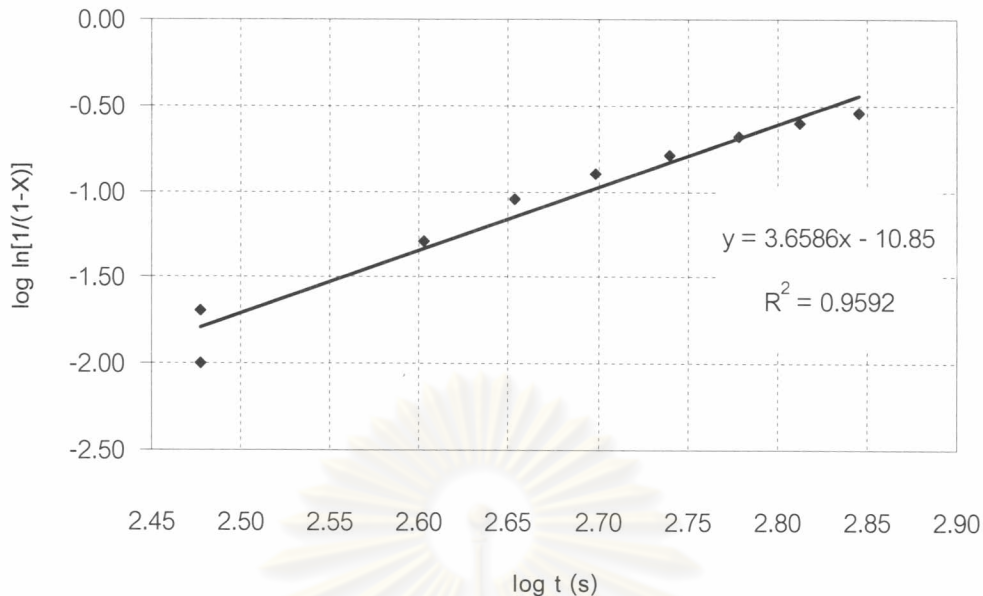
t(s)	X	$1/(1-X)$	$\ln [1/(1-X)]$	$\log t$	$\log \ln[1/(1-X)]$
20	0.04	1.04	0.04	1.30	-1.39
30	0.082	1.09	0.09	1.48	-1.07
40	0.13	1.15	0.14	1.60	-0.86
50	0.17	1.20	0.19	1.70	-0.73
60	0.2	1.25	0.22	1.78	-0.65
70	0.23	1.30	0.26	1.85	-0.58
80	0.29	1.41	0.34	1.90	-0.47
120	0.33	1.49	0.40	2.08	-0.40
150	0.37	1.59	0.46	2.18	-0.34
200	0.43	1.75	0.56	2.30	-0.25
300	0.5	2.00	0.69	2.48	-0.16
400	0.55	2.22	0.80	2.60	-0.10
500	0.59	2.44	0.89	2.70	-0.05
600	0.61	2.56	0.94	2.78	-0.03
700	0.63	2.70	0.99	2.85	0.00
1000	0.66	2.94	1.08	3.00	0.03

ตารางที่ ช8. ค่าตัวแปรตามสมการเส้นตรงของ Johnson-Mehl และ Avrami ของขั้นตัวอย่างภายหลังการอบที่ 1000°C ที่เวลาต่างๆ กัน

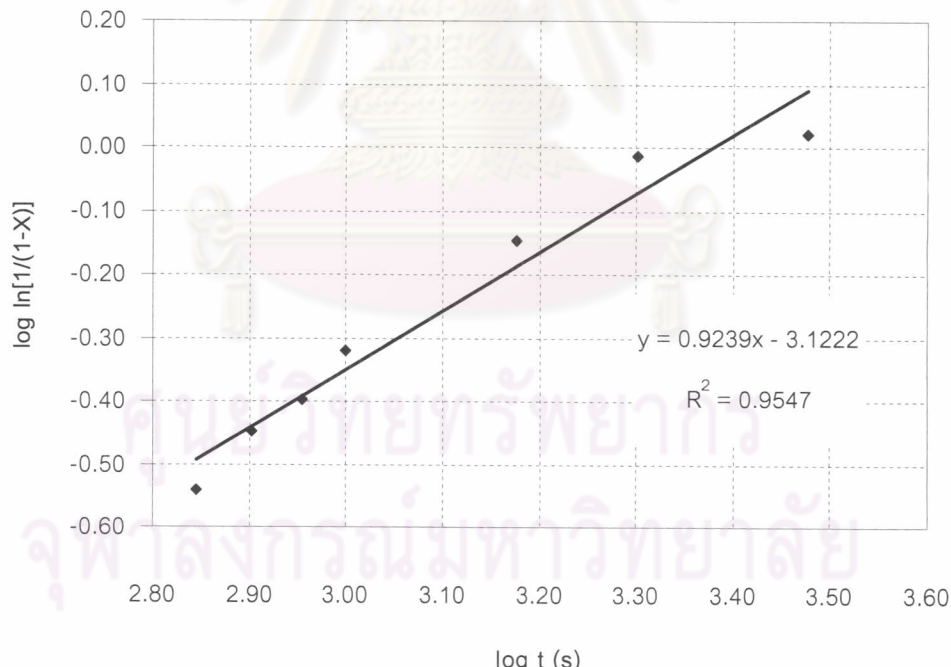
t(s)	X	$1/(1-X)$	$\ln [1/(1-X)]$	$\log t$	$\log \ln[1/(1-X)]$
6	0.03	1.03	0.03	0.78	-1.52
7	0.045	1.05	0.05	0.85	-1.34
8	0.06	1.06	0.06	0.90	-1.21
9	0.08	1.09	0.08	0.95	-1.08
10	0.09	1.10	0.09	1.00	-1.03
15	0.15	1.18	0.16	1.18	-0.79
20	0.19	1.23	0.21	1.30	-0.68
30	0.26	1.35	0.30	1.48	-0.52
40	0.3	1.43	0.36	1.60	-0.45
50	0.33	1.49	0.40	1.70	-0.40
60	0.35	1.54	0.43	1.78	-0.37
70	0.38	1.61	0.48	1.85	-0.32
80	0.4	1.67	0.51	1.90	-0.29
100	0.43	1.75	0.56	2.00	-0.25
150	0.48	1.92	0.65	2.18	-0.18
200	0.54	2.17	0.78	2.30	-0.11
300	0.59	2.44	0.89	2.48	-0.05
500	0.64	2.78	1.02	2.70	0.01

ตารางที่ ช9. ค่าตัวแปรตามสมการเส้นตรงของ Johnson-Mehl และ Avrami ของขั้นตัวอย่างภายหลังการอบที่ 1100°C ที่เวลาต่างๆ กัน

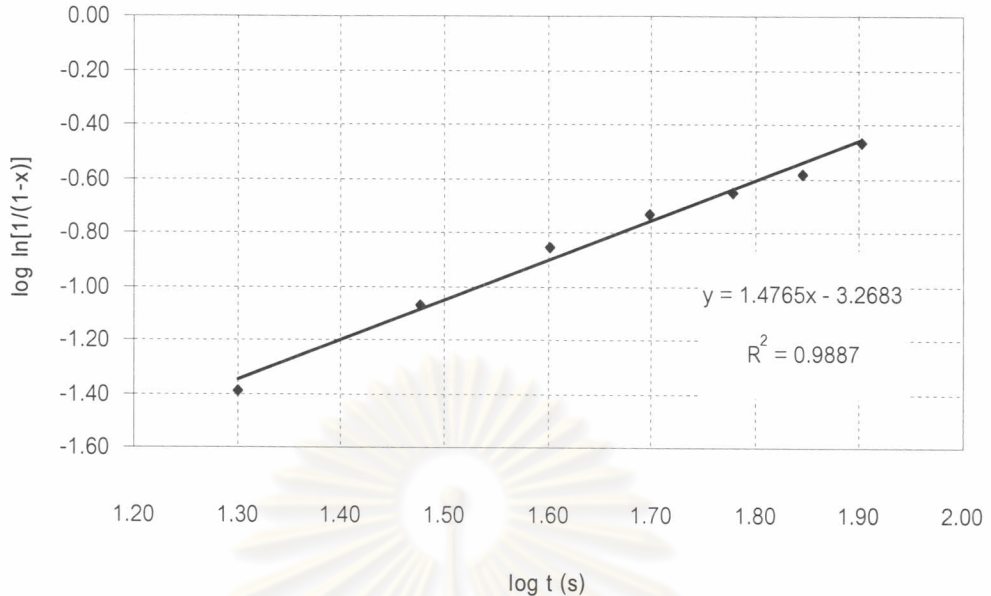
t(s)	X	$1/(1-X)$	$\ln [1/(1-X)]$	$\log t$	$\log \ln[1/(1-X)]$
8	0.015	1.02	0.02	0.90	-1.82
9	0.02	1.02	0.02	0.95	-1.69
10	0.025	1.03	0.03	1.00	-1.60
15	0.06	1.06	0.06	1.18	-1.21
20	0.116	1.13	0.12	1.30	-0.91
25	0.14	1.16	0.15	1.40	-0.82
30	0.16	1.19	0.17	1.48	-0.76
35	0.18	1.22	0.20	1.54	-0.70
40	0.2	1.25	0.22	1.60	-0.65
50	0.23	1.30	0.26	1.70	-0.58
60	0.26	1.35	0.30	1.78	-0.52
90	0.3	1.43	0.36	1.95	-0.45
120	0.34	1.52	0.42	2.08	-0.38
200	0.4	1.67	0.51	2.30	-0.29
300	0.44	1.79	0.58	2.48	-0.24
500	0.5	2.00	0.69	2.70	-0.16
900	0.56	2.27	0.82	2.95	-0.09



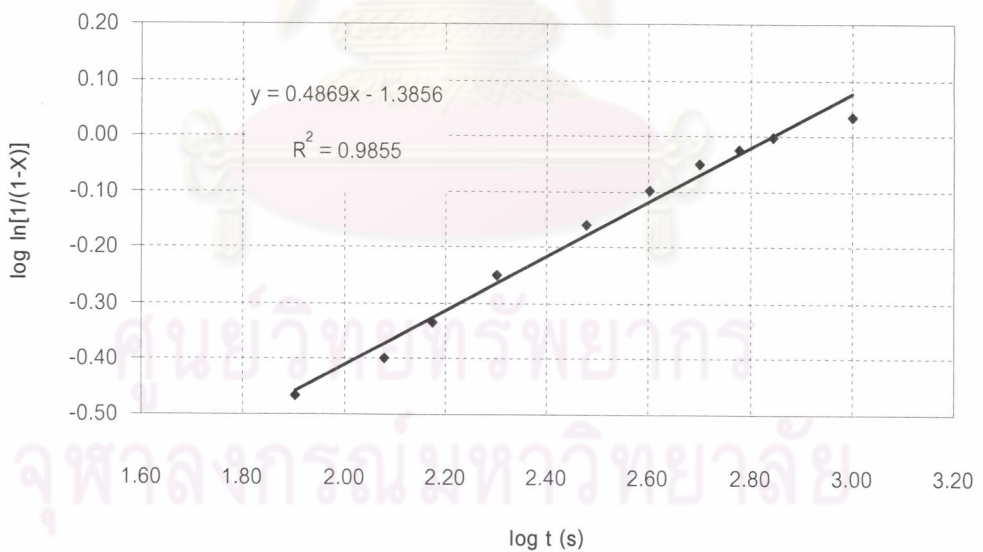
รูปที่ ข2 กราฟของการเกิดปฏิกิริยาในขั้นตอนแรกของชิ้นตัวอย่างภายหลัง การอบด้วยความร้อนที่ $800\text{ }^{\circ}\text{C}$



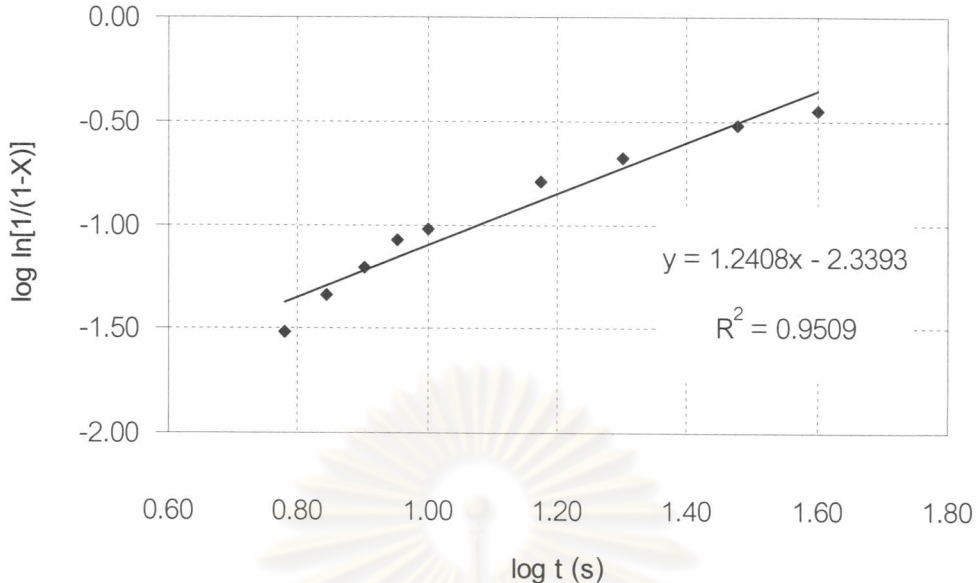
รูปที่ ข3 กราฟของการเกิดปฏิกิริยาในขั้นตอนสองของชิ้นตัวอย่างภายหลัง การอบด้วยความร้อนที่ $800\text{ }^{\circ}\text{C}$



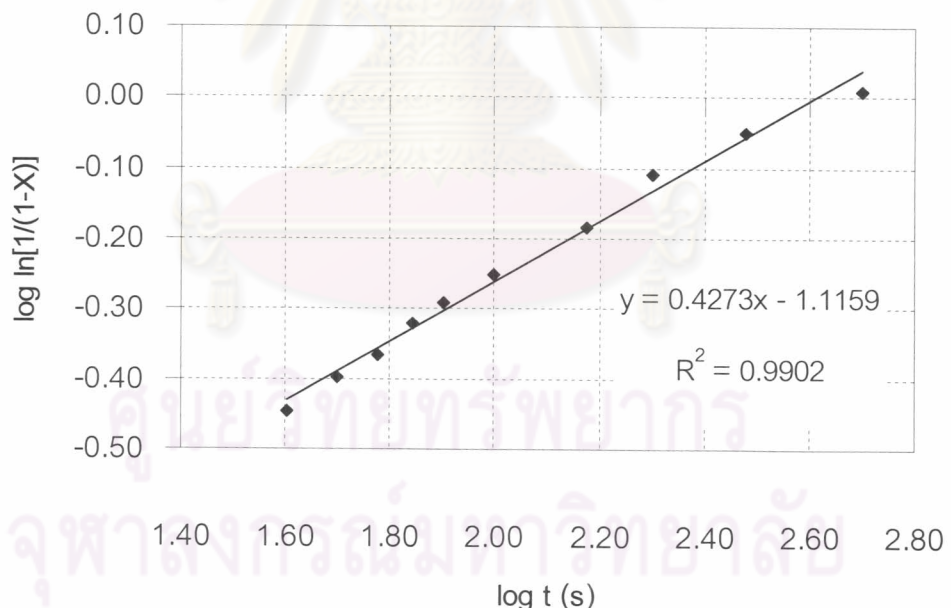
รูปที่ ข4 กราฟของการเกิดปฏิกิริยาในขั้นตอนแรกของชิ้นตัวอย่างภายหลังการอบด้วยความร้อนที่ 900°C



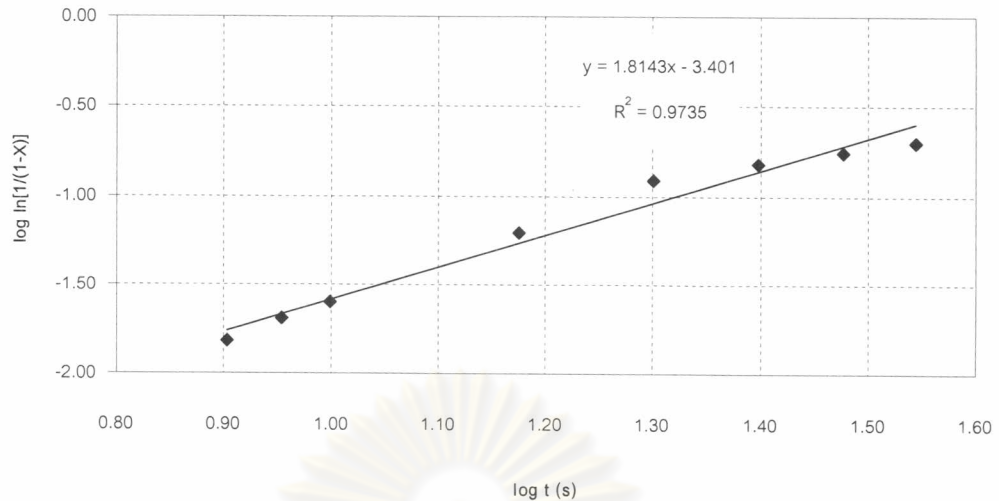
รูปที่ ข5 กราฟของการเกิดปฏิกิริยาในขั้นตอนสองของชิ้นตัวอย่างภายหลังการอบด้วยความร้อนที่ 900°C



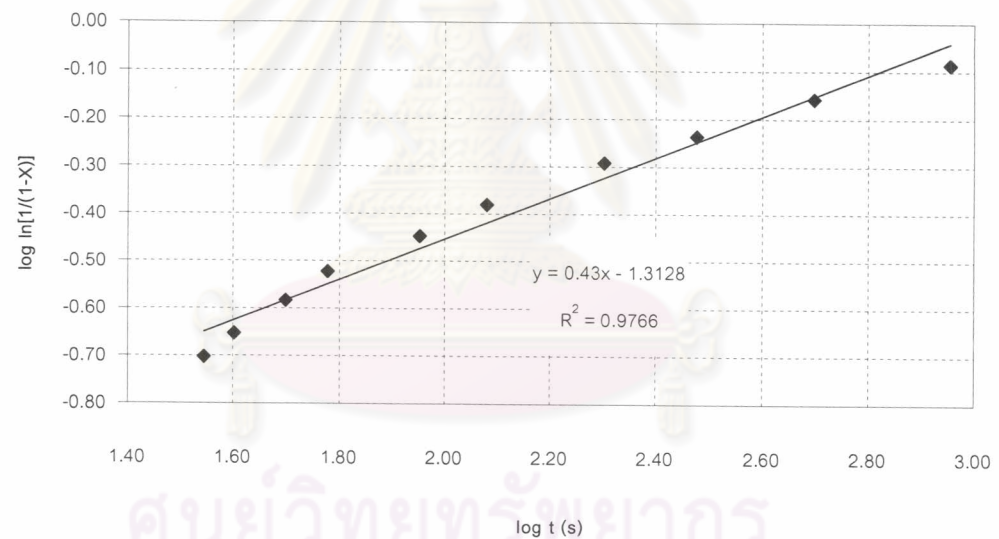
รูปที่ ข6 กราฟของการเกิดปฏิกิริยาในขั้นตอนแรกของชิ้นตัวอย่างภายหลังการอบด้วยความร้อนที่ $1000\text{ }^{\circ}\text{C}$



รูปที่ ข7 กราฟของการเกิดปฏิกิริยาในขั้นตอนสองของชิ้นตัวอย่างภายหลังการอบด้วยความร้อนที่ $1000\text{ }^{\circ}\text{C}$



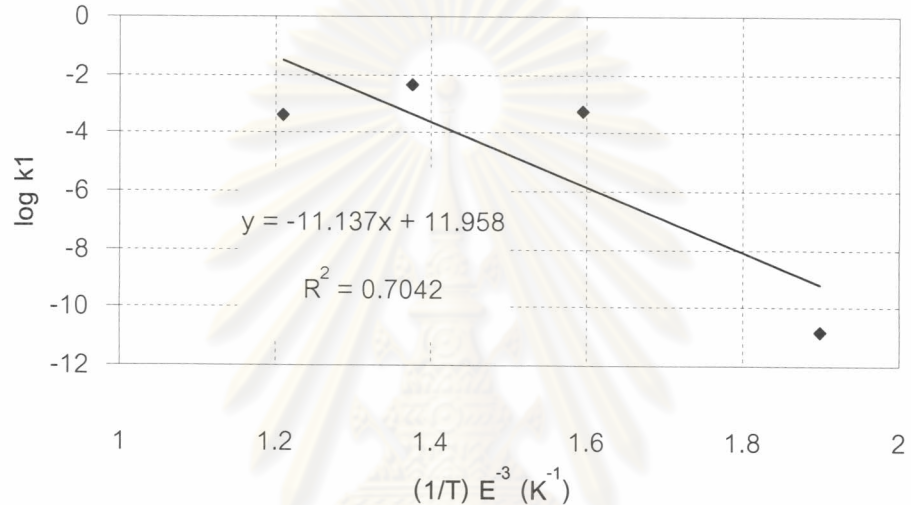
รูปที่ ช8 กราฟของการเกิดปฏิกิริยาในขันตอนแรกของชิ้นตัวอย่างภายหลังการอบด้วยความร้อนที่ 1100°C



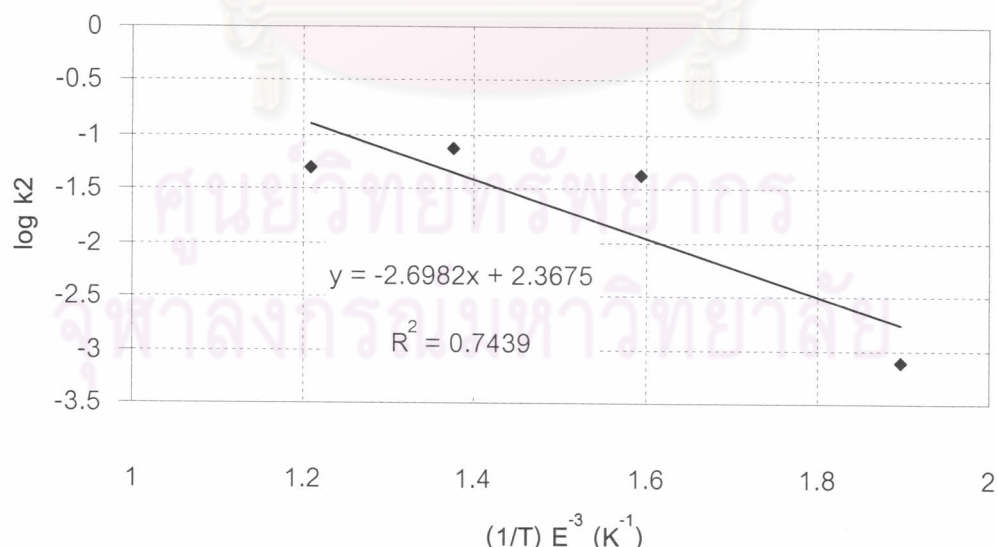
รูปที่ ช9 กราฟของการเกิดปฏิกิริยาในขันตอนสองของชิ้นตัวอย่างภายหลังการอบด้วยความร้อนที่ 1100°C

ตารางที่ ช10. ค่าตัวแปร k และ จุดตัดแกน ($\log k$)

ขั้นของปฏิกิริยา	อุณหภูมิ ($^{\circ}\text{C}$)	800	900	1000	1100
ขั้นที่ 1	n	3.66	1.48	1.24	1.81
	$\log k$	-10.85	-3.27	-2.34	-3.40
ขั้นที่ 2	n	0.92	0.49	0.43	0.43
	$\log k$	-3.12	-1.38	-1.12	-1.31



รูปที่ ช10 กราฟพลังงานกระตุ้นของการเกิดปฏิกิริยาในขั้นตอนแรก

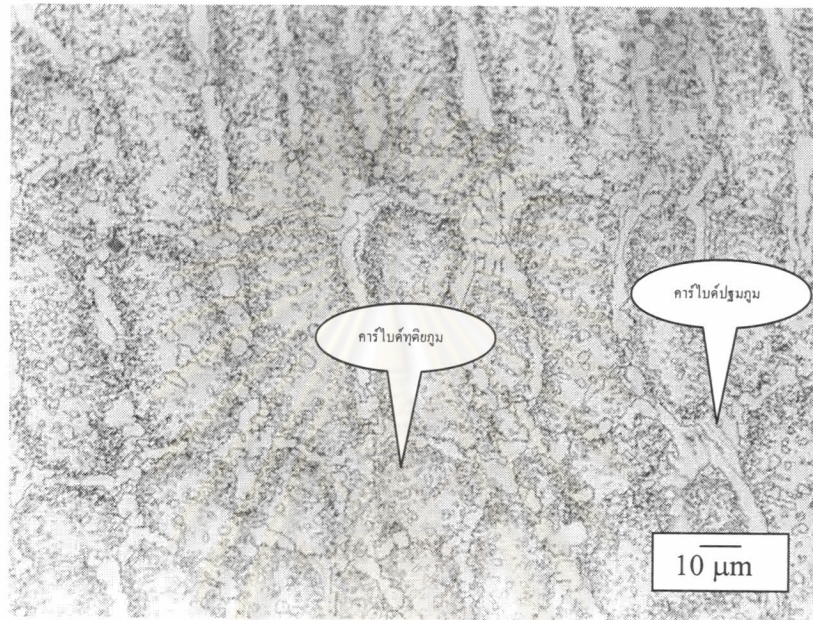


รูปที่ ช11 กราฟพลังงานกระตุ้นของการเกิดปฏิกิริยาในขั้นตอนสอง

ภาคผนวก ๗

ข้อมูลการใช้งานของท่อโลหะผสมเหล็ก นิกเกิล โครเมียม

1. โครงสร้างจุลภาค



รูปที่ ๗.๑ โครงสร้างจุลภาคจากกล้องจุลทรรศน์แสงของชิ้นตัวอย่างที่ผ่านการใช้งาน ๒ เดือน
อุณหภูมิใช้งาน ท่อด้านนอก 1050°ซ. และท่อด้านใน 846°ซ.

2. สมบัติเชิงกล

ความแข็ง (HV0.5)	ความเดันดึงสูงสุด (MPa)	ความเดันคราก (MPa)	เบอร์เชิงต์การยืด	โมดูลัสของความแกร่ง (กูล)
235	396	375	8.5	33.4

ประวัติผู้เขียน

ชื่อ :	นางสาวสาวรินทร์ วัฒนาสกุล
เกิดเมื่อ :	วันที่ 11 ตุลาคม พ.ศ. 2512
สถานที่เกิด :	จังหวัดตรัง
การศึกษา :	ปริญญาตรีวิทยาศาสตรบัณฑิต สาขาวิชาเคมี คณะวิทยาศาสตร์ มหาวิทยาลัยรามคำแหง ปีการศึกษา 2537
การฝึกอบรม :	
มิถุนายน - สิงหาคม 2539	METALLOGRAPHY ณ TUEV Sued-Deutschland
	ประเทศสหพันธ์สาธารณรัฐเยอรมัน
ประวัติการทำงาน :	
2539 - 2540	- นักวิชาการ 4 ห้องปฏิบัติการตรวจสอบคุณสมบัติของวัสดุ ศูนย์พัฒนาและวิเคราะห์สมบัติของวัสดุ สถาบันวิจัยวิทยาศาสตร์ และเทคโนโลยีแห่งประเทศไทย
2541 - ปัจจุบัน	- นักวิชาการ 6 ห้องปฏิบัติการตรวจสอบคุณสมบัติของวัสดุ ศูนย์พัฒนาและวิเคราะห์สมบัติของวัสดุ สถาบันวิจัยวิทยาศาสตร์ และเทคโนโลยีแห่งประเทศไทย
ประสบการณ์ :	- การวิเคราะห์โครงสร้างมหภาค และอุลภาชนะโลหะในกลุ่ม เหล็กและนอกกลุ่มเหล็ก - วิเคราะห์ความเสียหายเนื่องจากการคีบโดยวิธีลอกลาย

เข้าศึกษาต่อในหลักสูตรวิศวกรรมศาสตรบัณฑิต สาขาวิชาวิศวกรรมโลหการ จุฬาลงกรณ์
มหาวิทยาลัยเมือง พ.ศ. 2544